

TIPE:

Réduction des oscillations de bâtiments par la mise en place d'amortisseur à masse accordée



Amortisseurs à masse accordée:

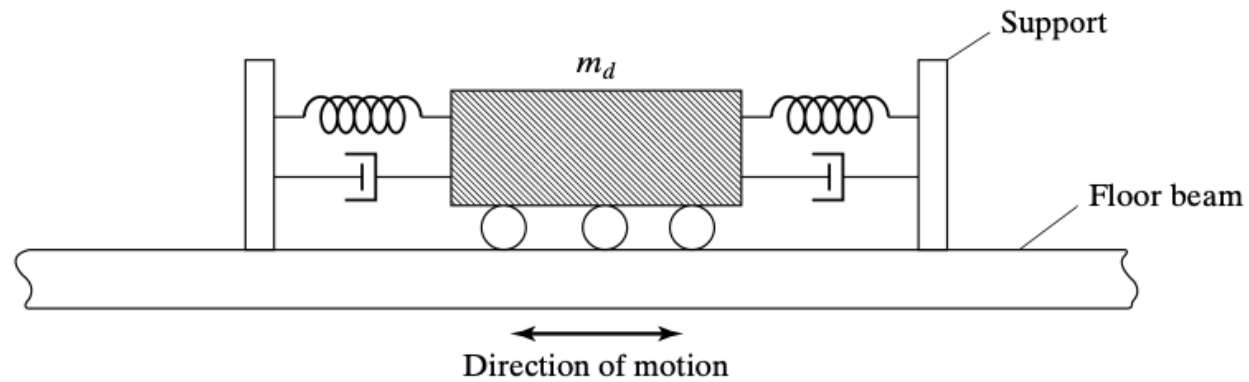
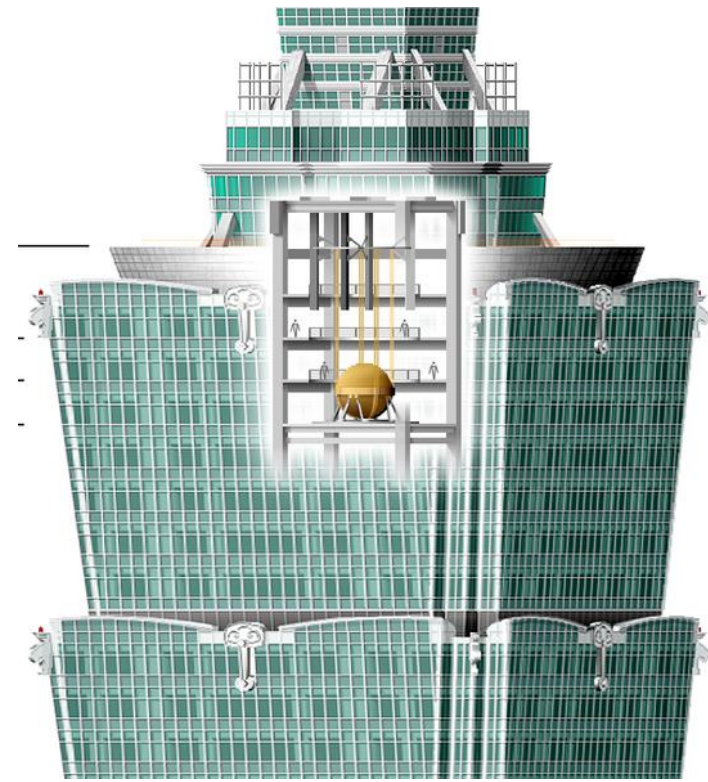
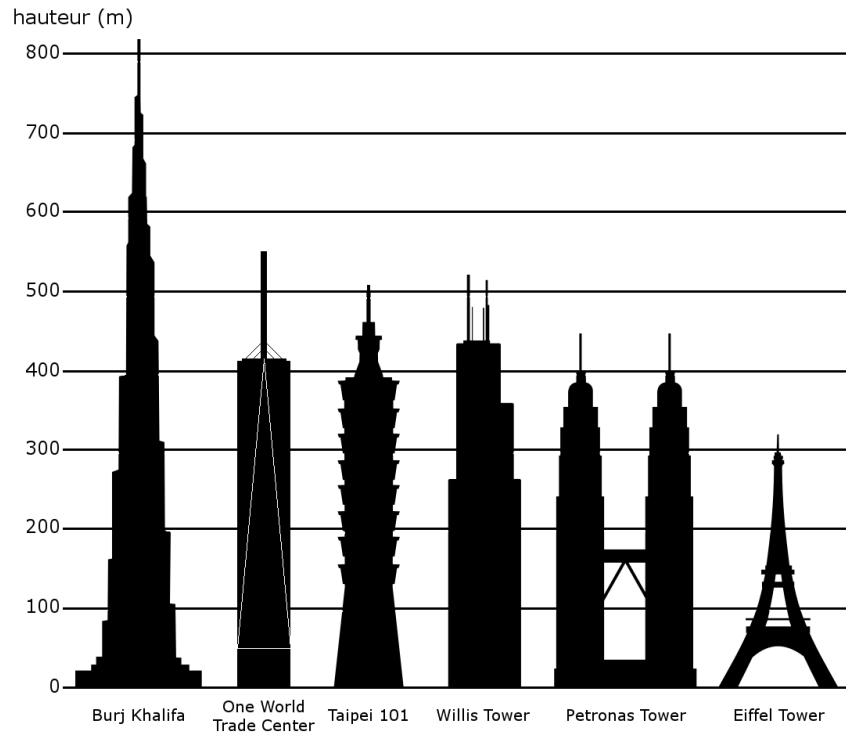


FIGURE 4.2: Schematic diagram of a translational tuned mass damper.

Problématique:

Quels sont les effets des amortisseurs à masse accordée? Comment prévoir leur action? Comment optimiser son effet avant de le mettre en œuvre pour garantir la résistance aux aléas naturels?

Plan:

1. Familiarisation avec le système:

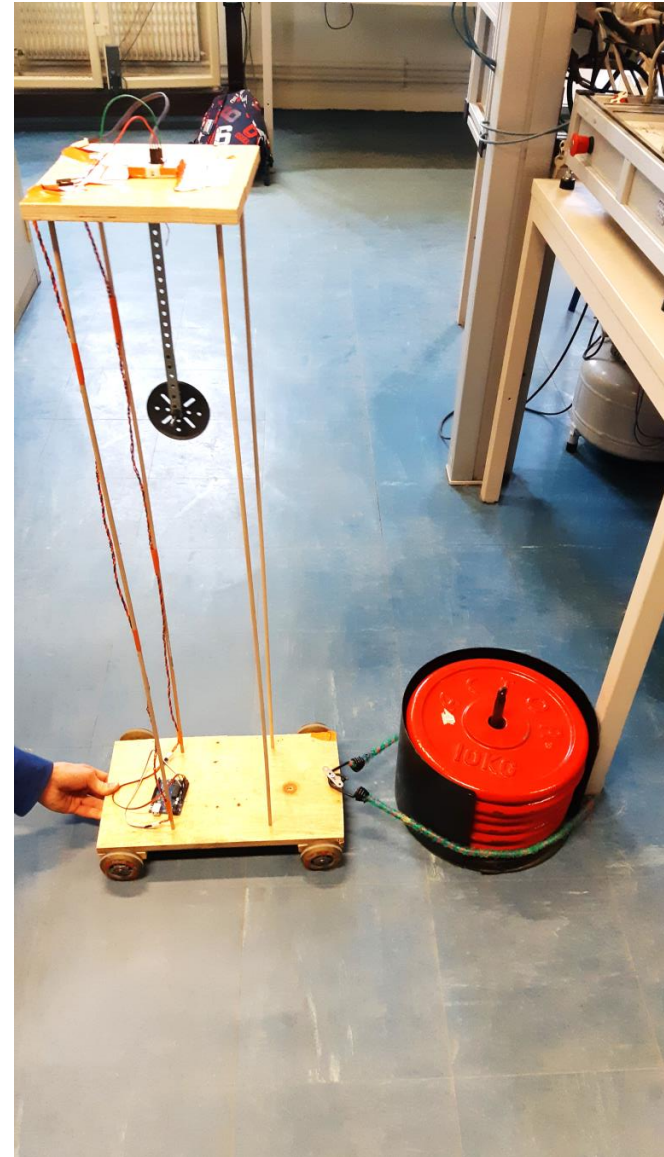
- Modélisation simple
- Conception d'une maquette

2. Mise en place d'un modèle:

- Choix d'un modèle approprié
- Mise en équation puis résolution numérique

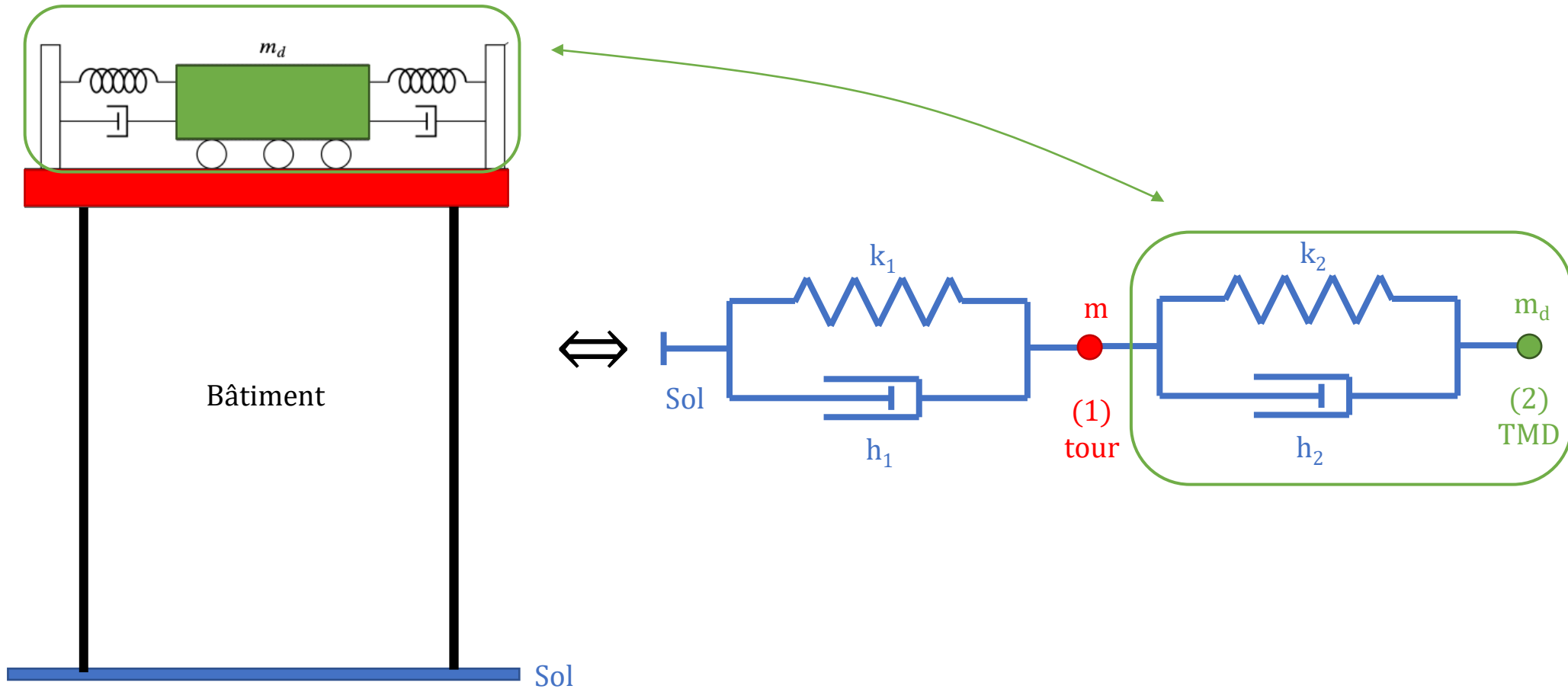
3. Optimisation du système avant sa réalisation

- Etude informatique
- Mise en œuvre sur la maquette



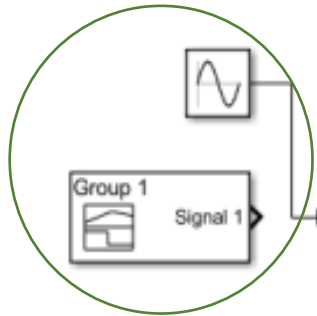
Première approche: étude d'une modélisation à une dimension

Sans pendule: seulement amortisseurs et ressorts

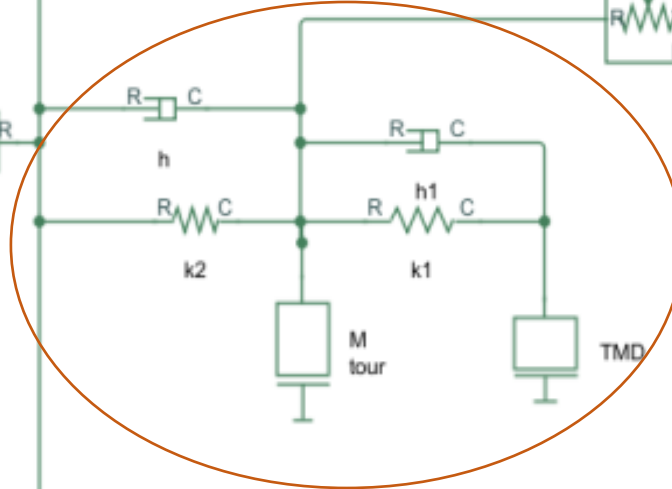


Simulation Matlab:

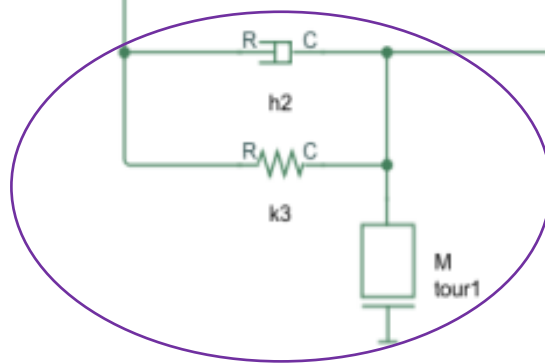
Signaux d'entrée



Système avec amortisseur

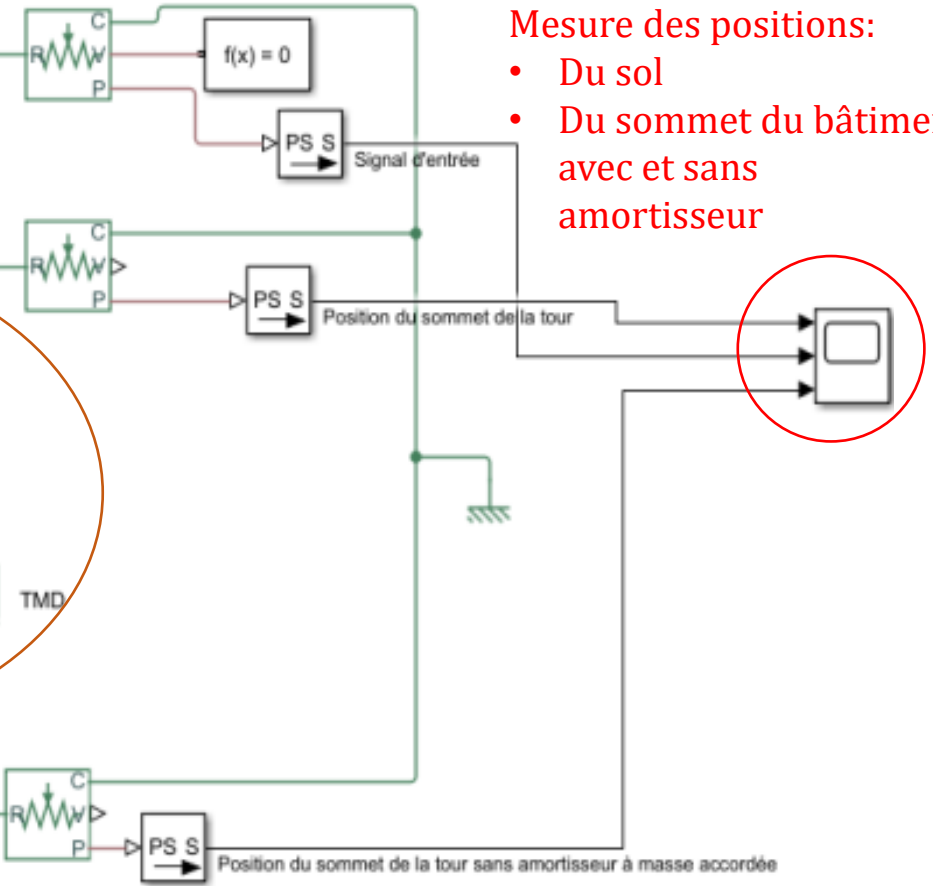


Système sans amortisseur

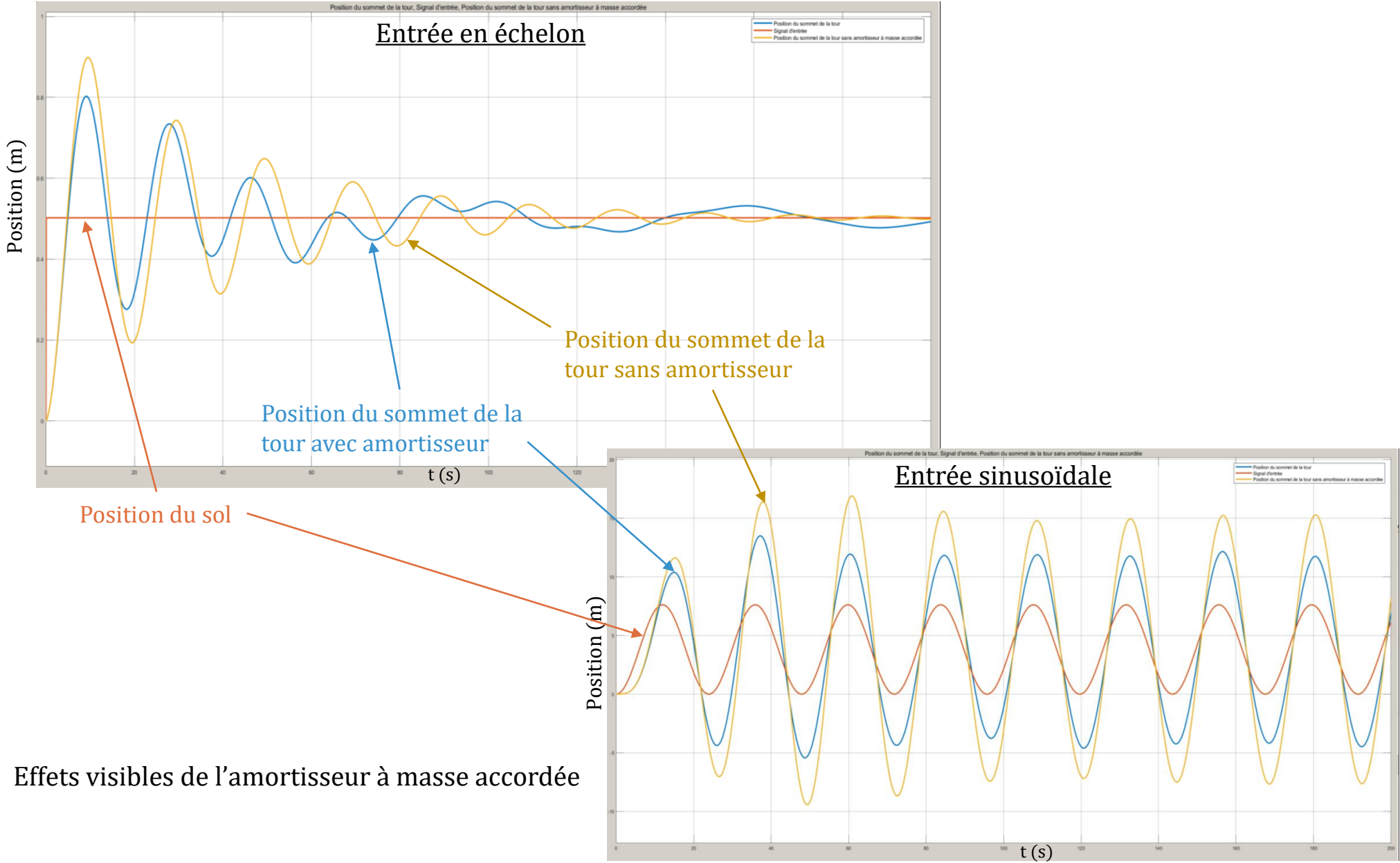


Mesure des positions:

- Du sol
- Du sommet du bâtiment avec et sans amortisseur



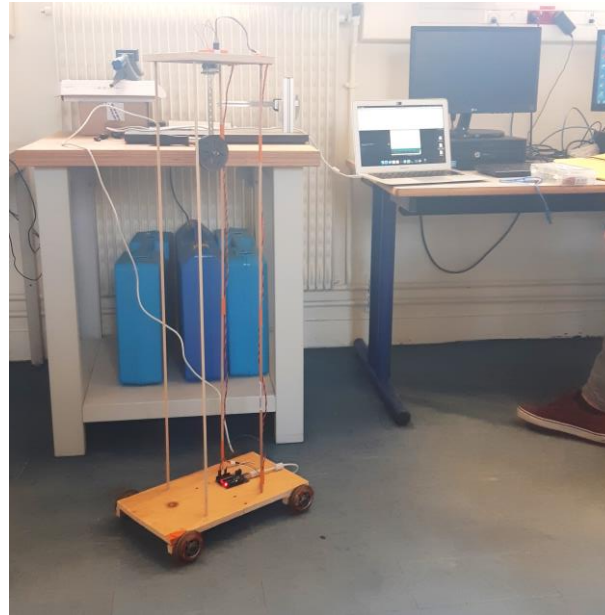
Simulation Matlab:



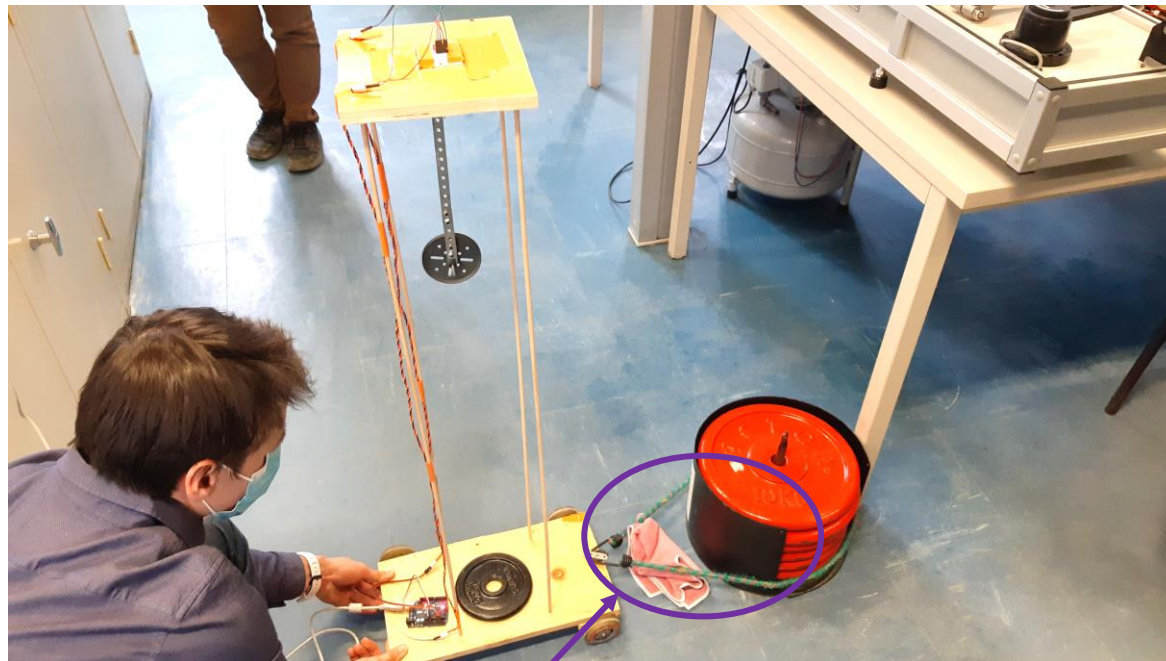
Effets visibles de l'amortisseur à masse accordée

Construction de la maquette:

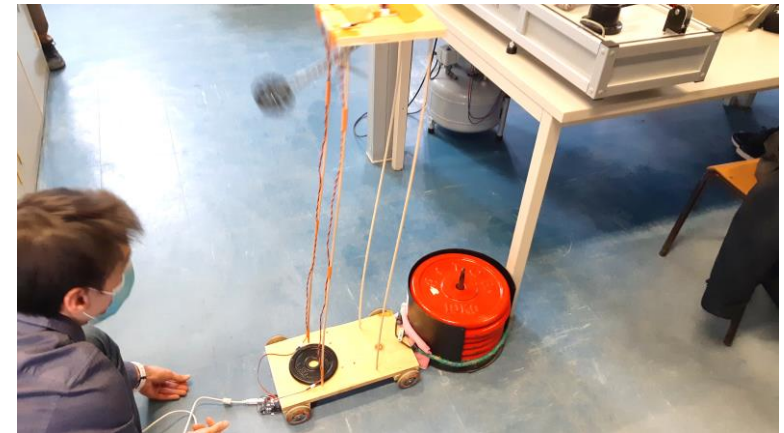
Sur le modèle du TMD de la tour
Taipei 101



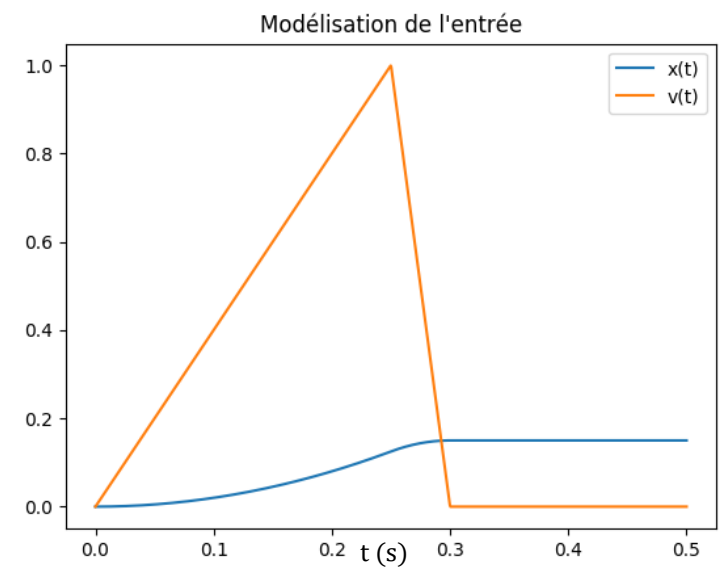
Perturbation extérieure en choc:



Ressort de traction pour
simuler une perturbation

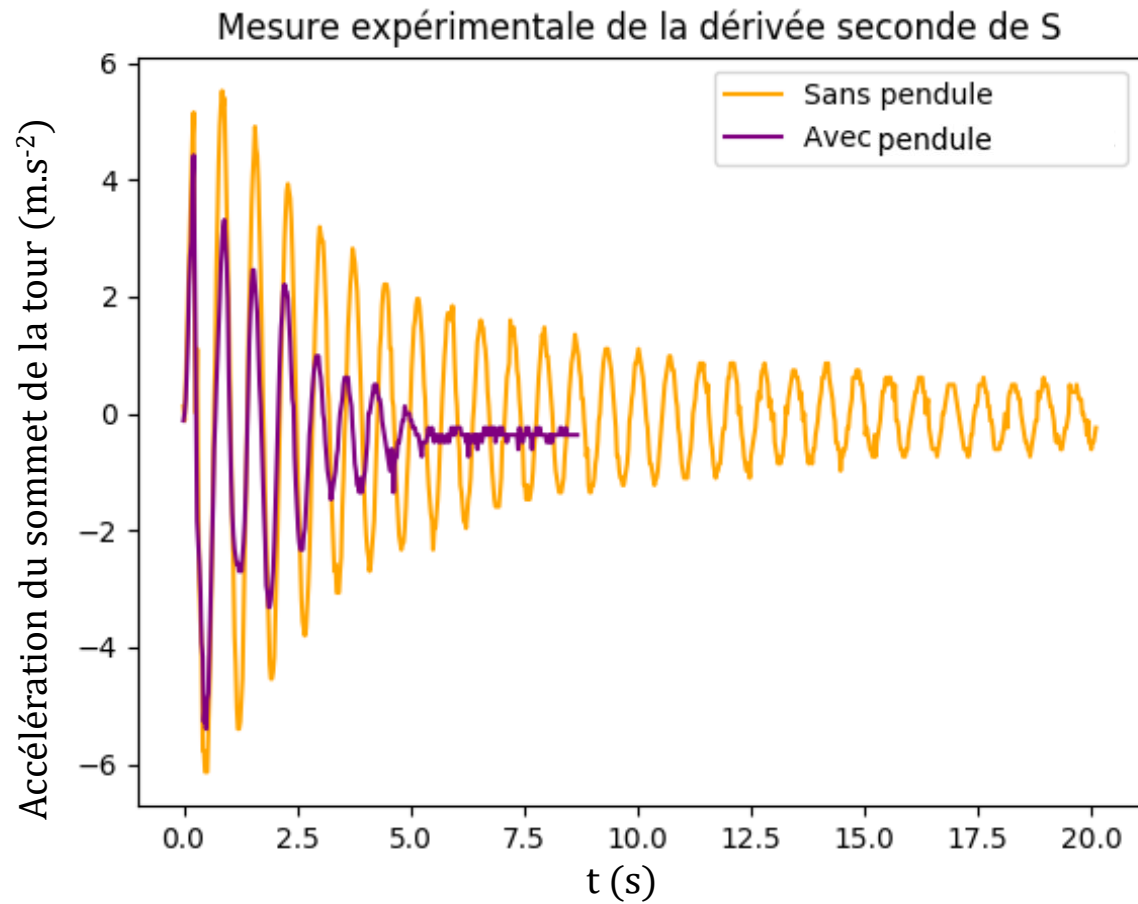


Entrée en triangle de vitesse

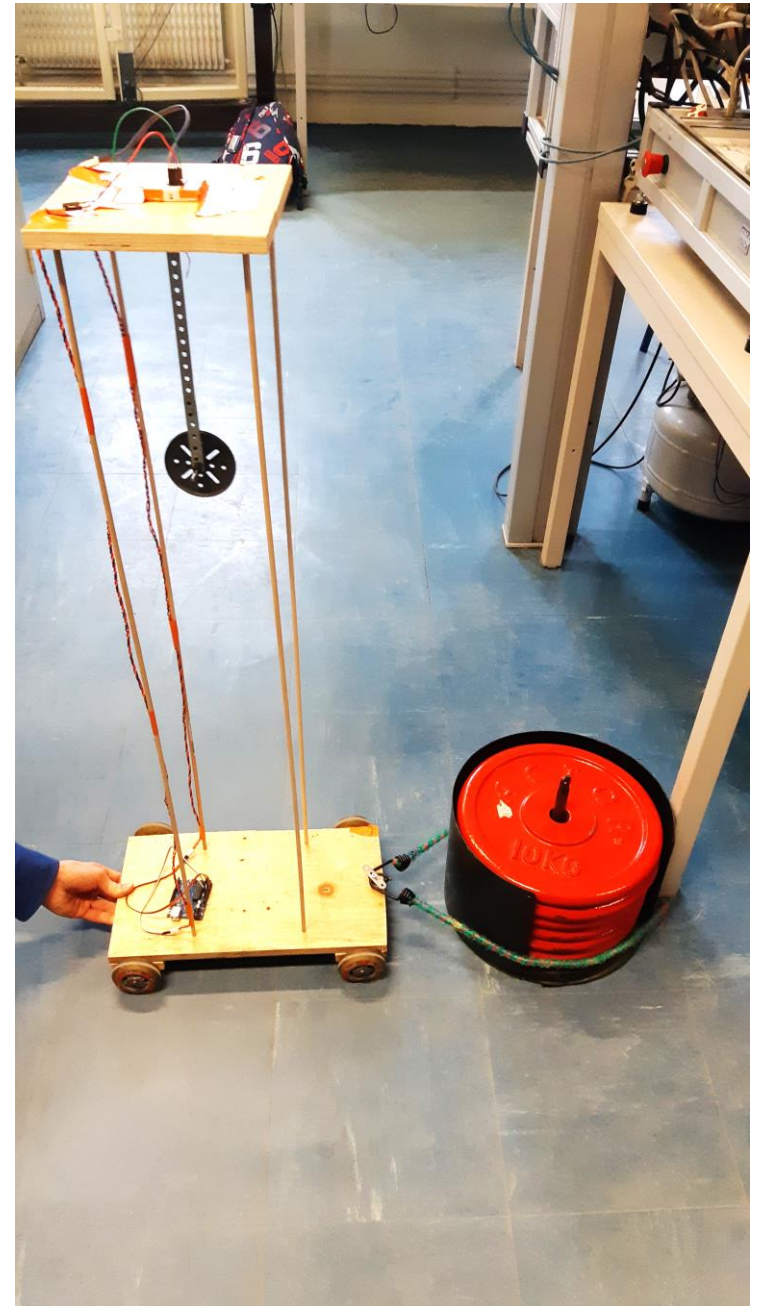


Mesures et modélisation en annexe D; script Python en annexe I

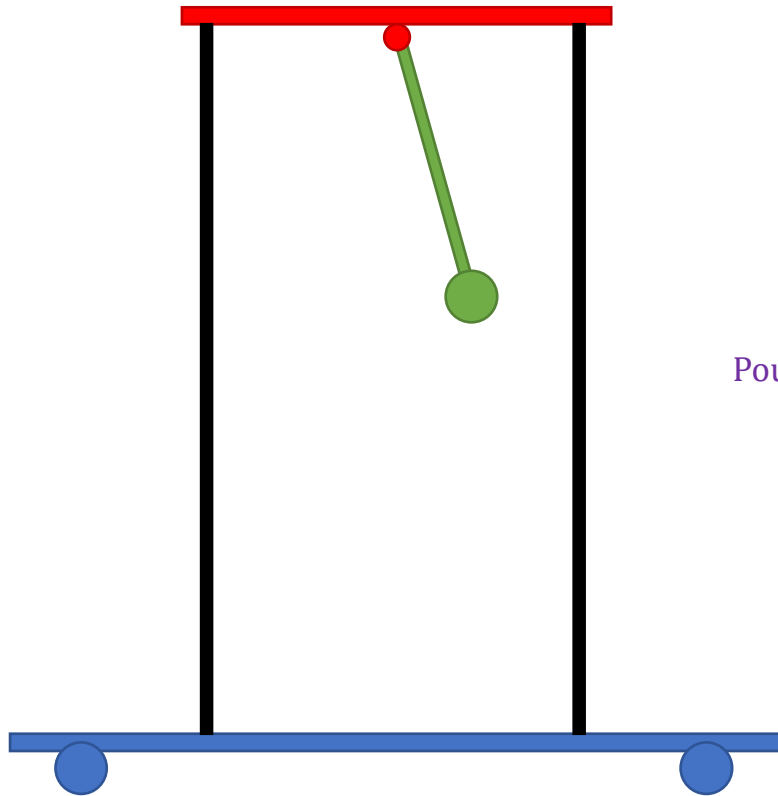
Comparaison avec et sans pendule:



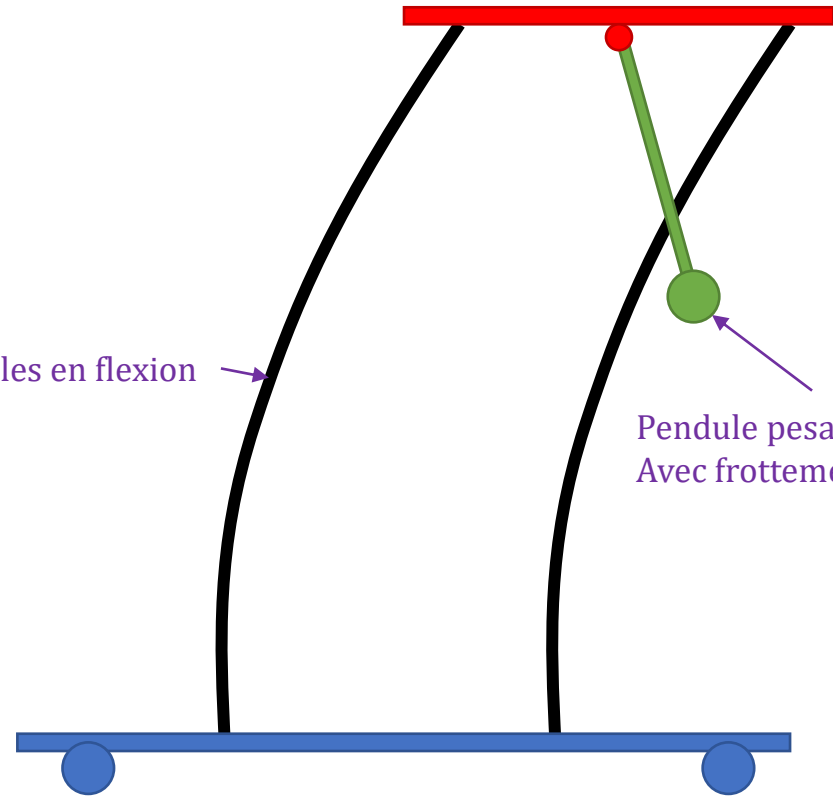
Script Python en annexe N



Modélisation de la maquette:



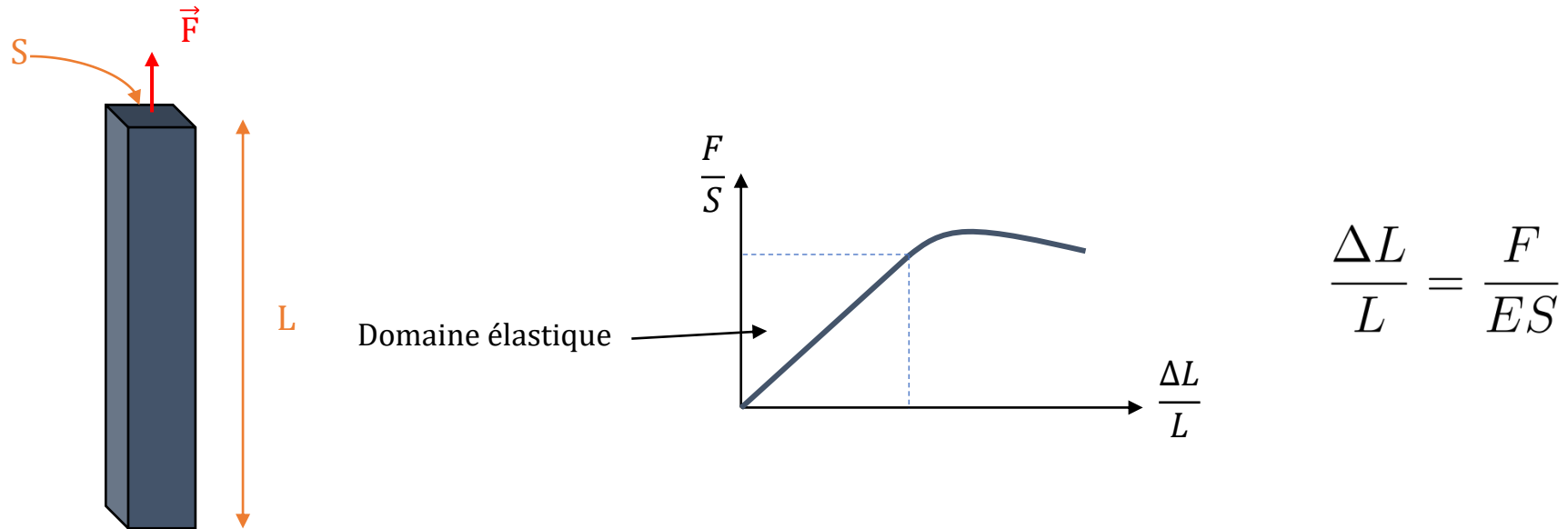
Poutres verticales en flexion



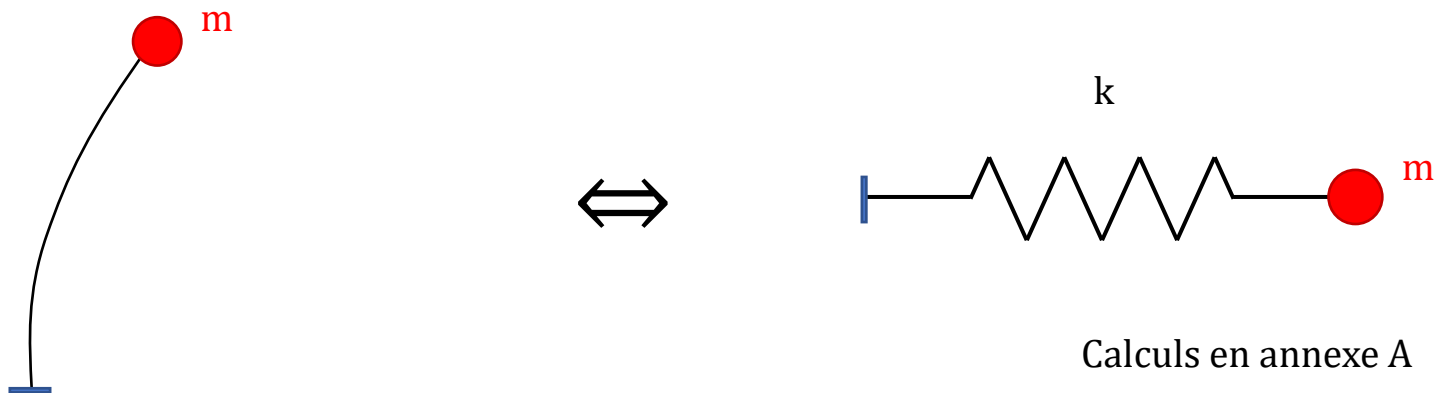
Pendule pesant
Avec frottements fluide w

Modélisation d'une poutre verticale:

Définition du module d'Young E dans le domaine d'élasticité



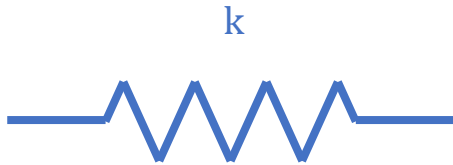
Application à une poutre verticale encastrée en flexion



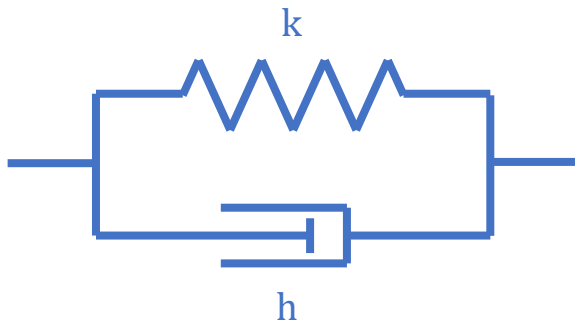
Modélisation d'une poutre verticale:

Différents modèles possibles

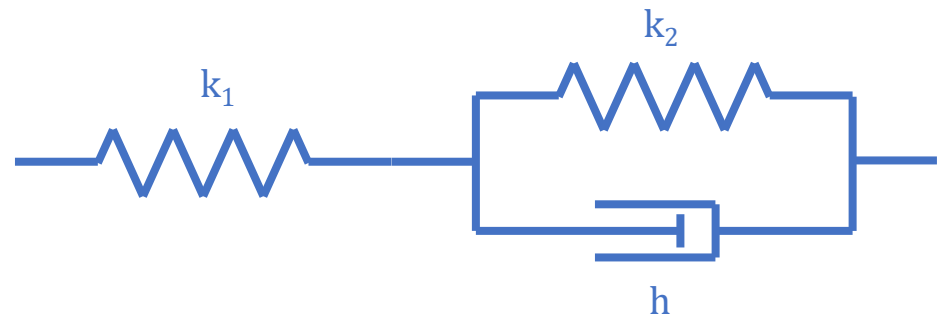
- Utilisation du module d'Young



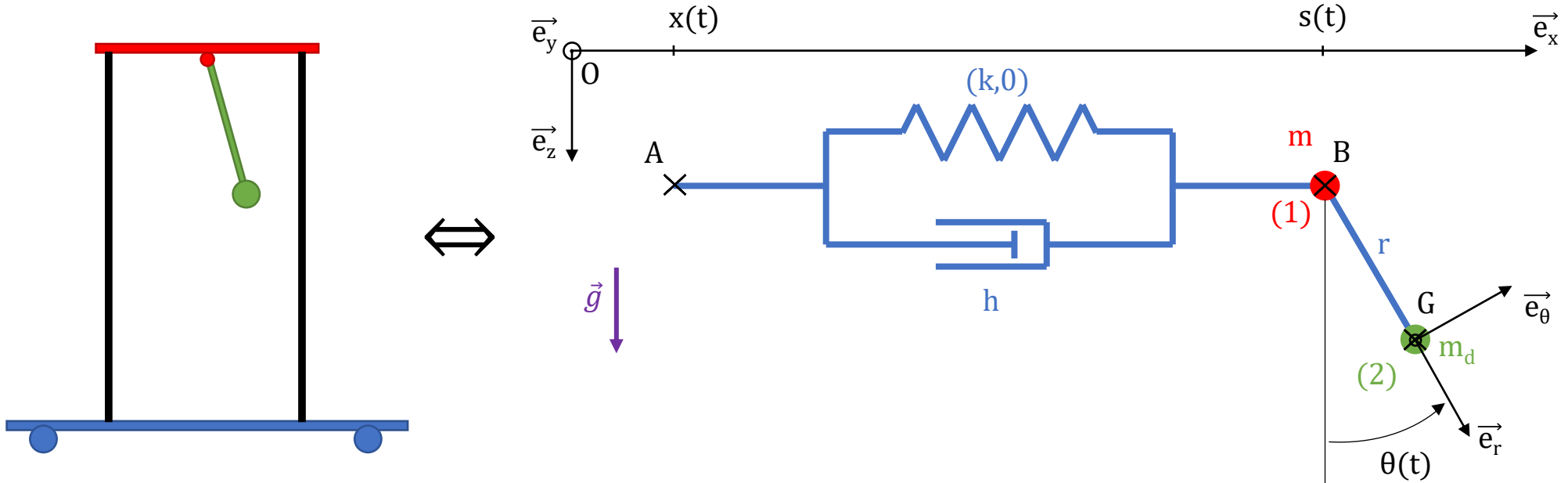
- Kelvin-Voigt



- Poynting-Thomson



Modèle retenu et mise en équation du système:



$$\begin{pmatrix} m_d r & m_d \cos \theta \\ m_d r \cos \theta & m + m_d \end{pmatrix} \begin{pmatrix} \ddot{\theta} \\ \ddot{s} \end{pmatrix} = \begin{pmatrix} -m_d g \sin \theta - w \dot{\theta} \\ h(\dot{x} - \dot{s}) + k(x - s) - w \dot{\theta} \cos \theta + m_d r \dot{\theta}^2 \sin \theta \end{pmatrix}$$

Systeme inversible $\Leftrightarrow m_d r (m + m_d) - m_d^2 r \cos^2 \theta \neq 0$

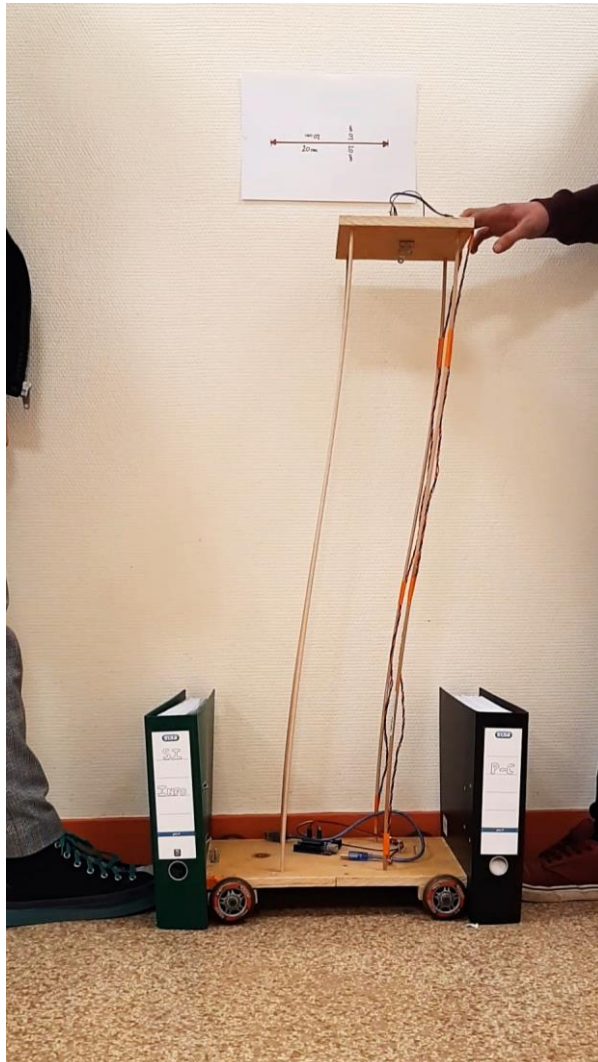
$$\Leftrightarrow \cos^2 \theta \neq \frac{m_d r (m + m_d)}{m_d^2 r}$$

$$\Leftrightarrow \cos^2 \theta \neq \frac{m + m_d}{m}$$

Calculs en annexe B

Détermination des paramètres de la maquette par pointage informatique:

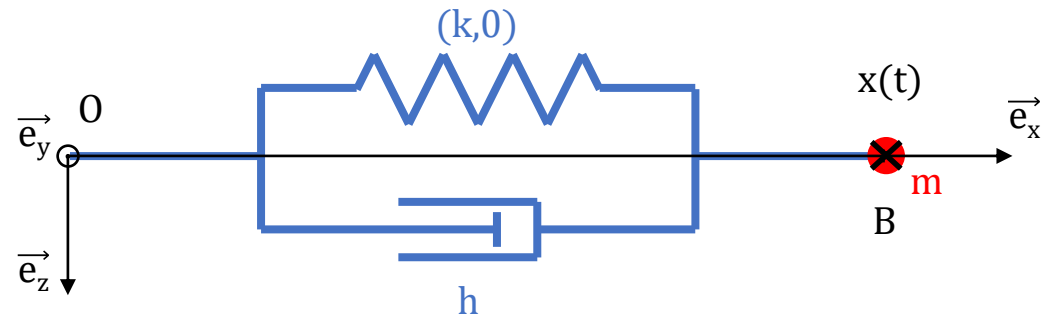
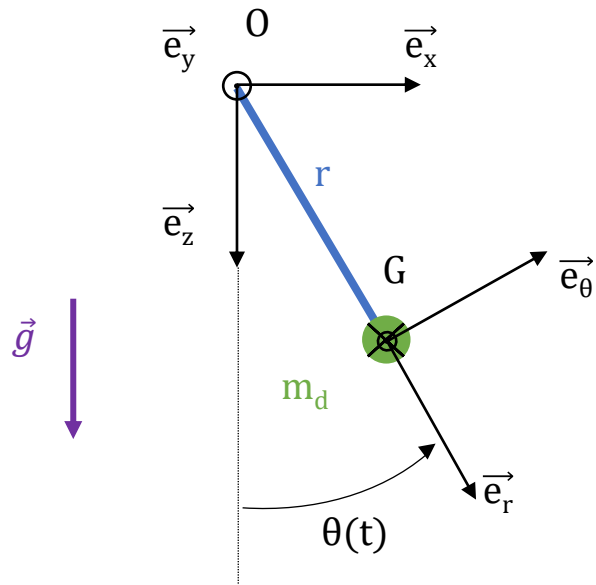
Raideur k du ressort
et
coefficient de frottement h des poutres verticales



Coefficient de frottement w du pendule pesant



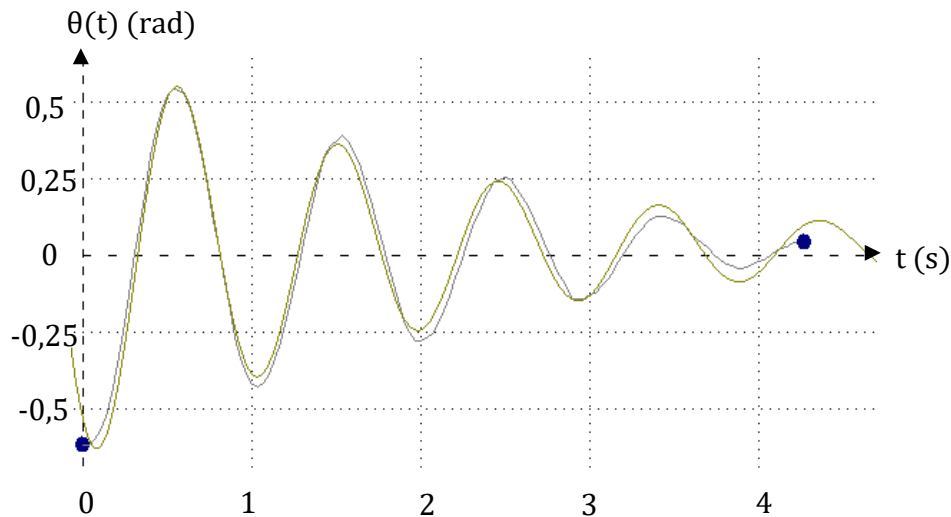
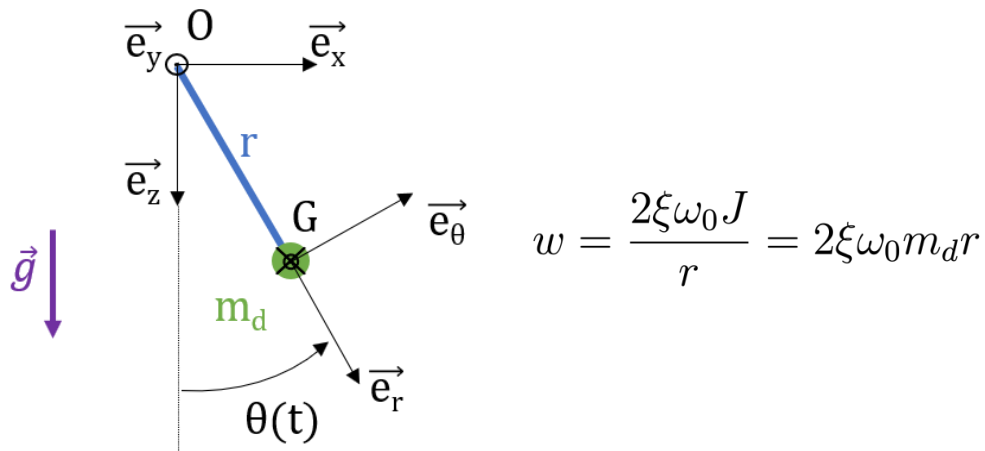
Détermination des paramètres de la maquette par pointage informatique:



$$(E) : \ddot{f} + 2\xi\omega_0\dot{f} + \omega_0^2 f = 0$$

$$\Leftrightarrow f(t) = y_m \cos(\omega t + \varphi) e^{-\xi\omega_0 t} \text{ avec } \omega = \omega_0 \sqrt{1 - \xi^2}$$

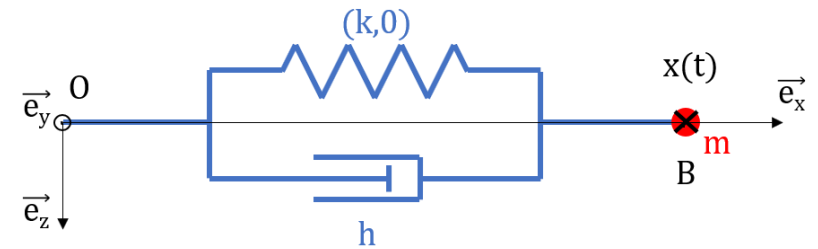
Détermination des paramètres de la maquette par pointage informatique:



Application numérique:

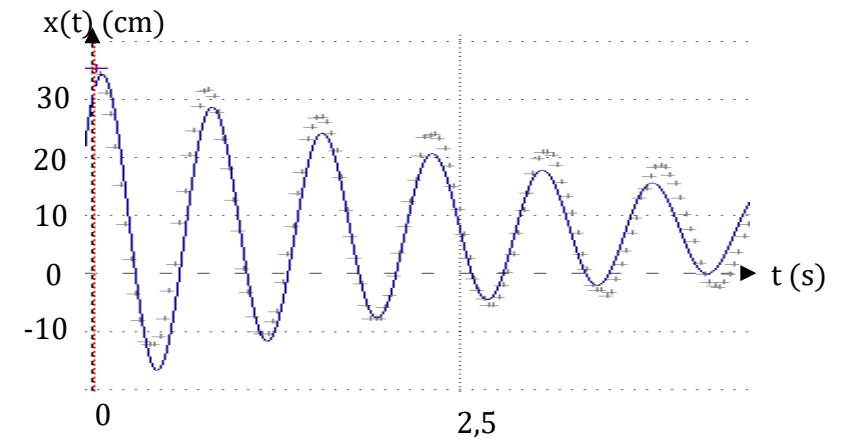
$$w = 1,4 \cdot 10^{-3} \text{ N.s}$$

Calculs en annexe C



$$h = 2m\xi\omega_0$$

$$k = \frac{m\omega^2}{\left(\frac{h}{4\omega m} \pm \sqrt{1 + \left(\frac{h}{4\omega m}\right)^2}\right)^2}$$

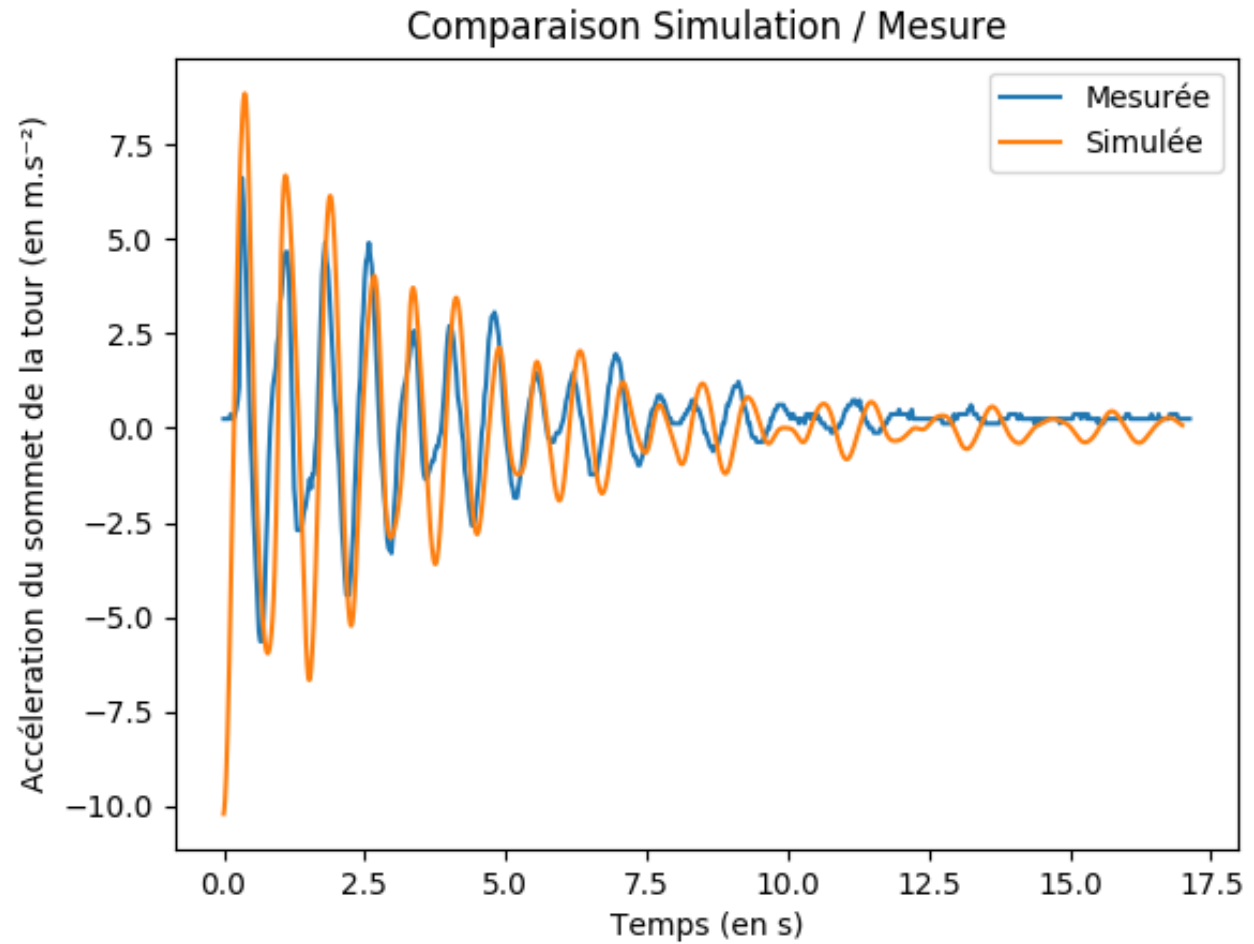


Applications numériques:

$$k = 39 \text{ N.m}$$

$$h = 0,37 \text{ N.s.m}^{-1}$$

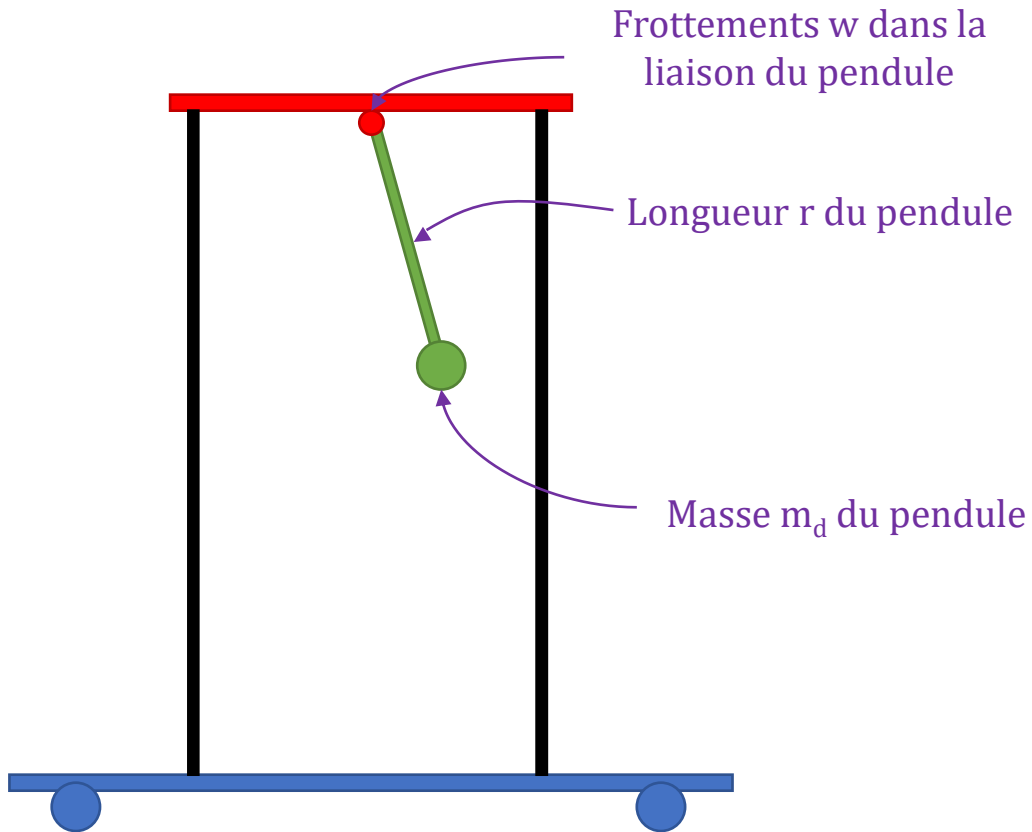
Comparaison de la modélisation python avec les mesures sur la maquette:



Script Python en annexes H et N

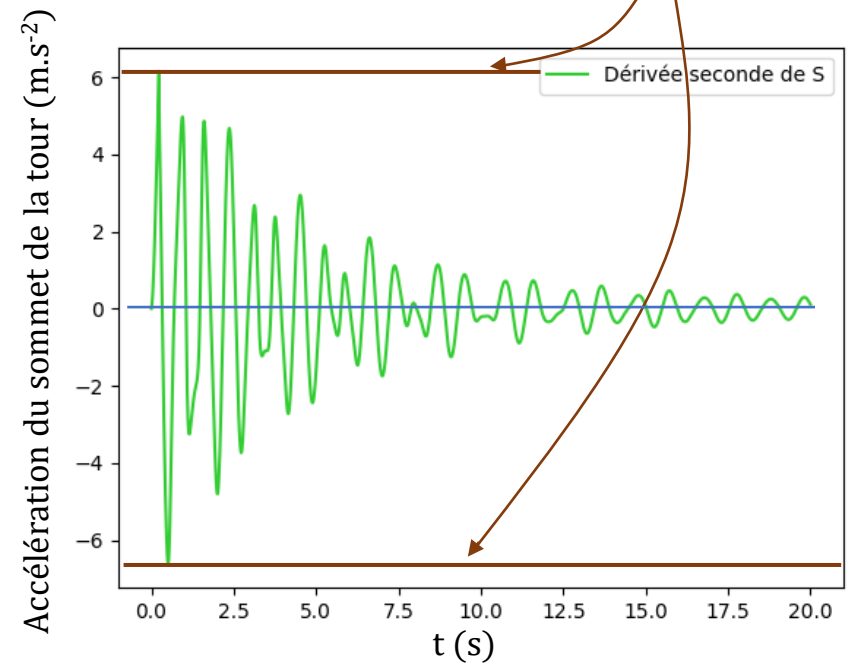
Optimisation des paramètres avec python:

Paramètres modifiables



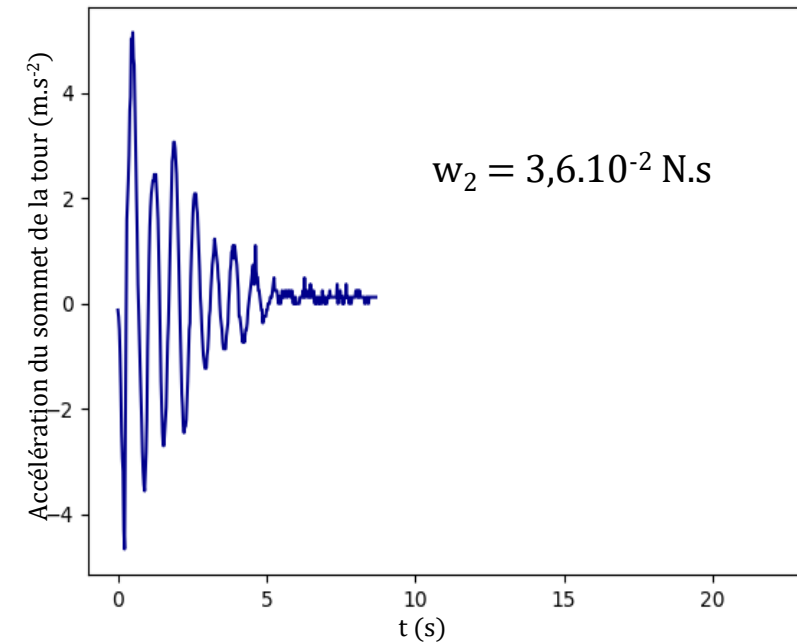
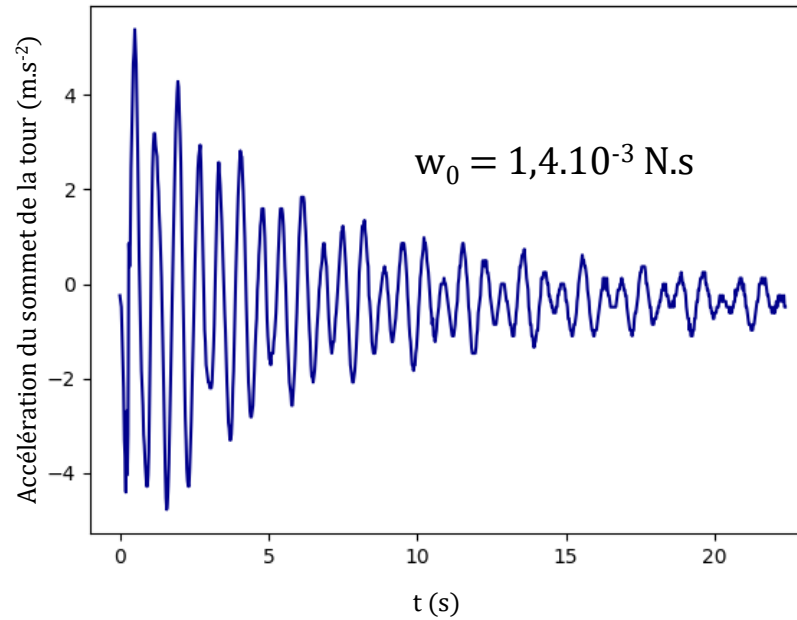
Critères d'optimisation:

- Accélération maximale ressentie au sommet de la tour

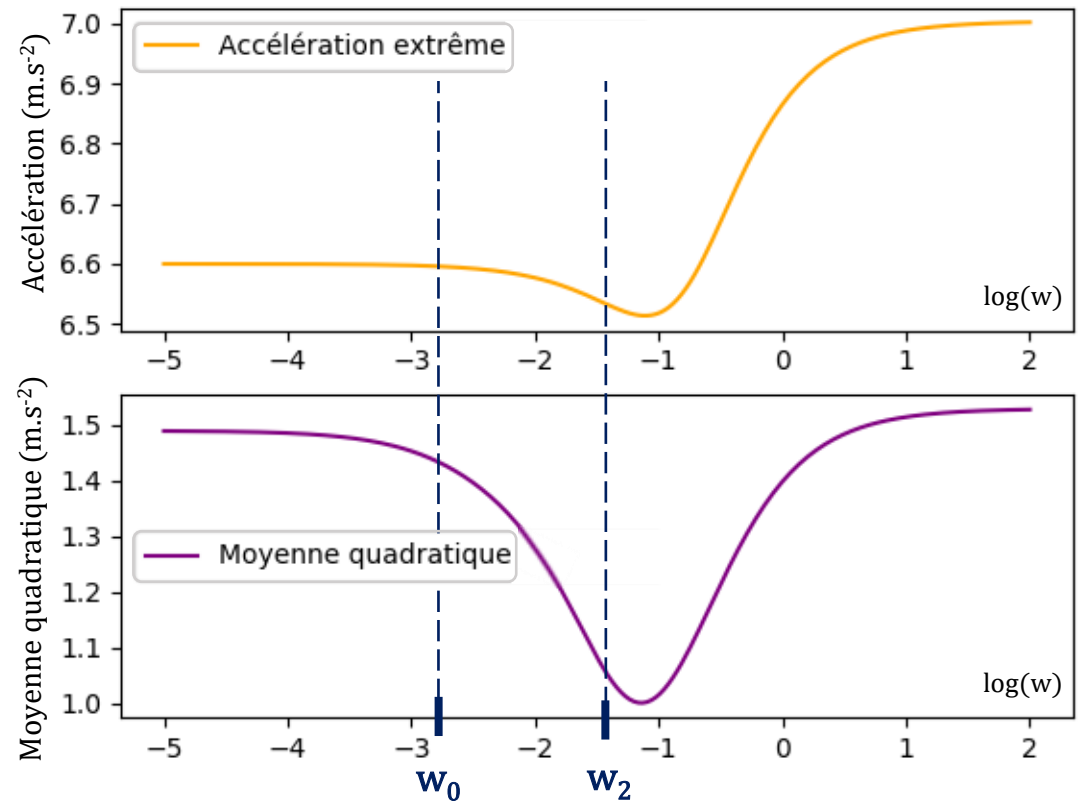


- Moyenne quadratique de l'accélération: surface entre la courbe et la valeur moyenne. Caractérise la rapidité du retour à la position d'équilibre

Optimisation expérimentale puis informatique à masse et longueur fixées:



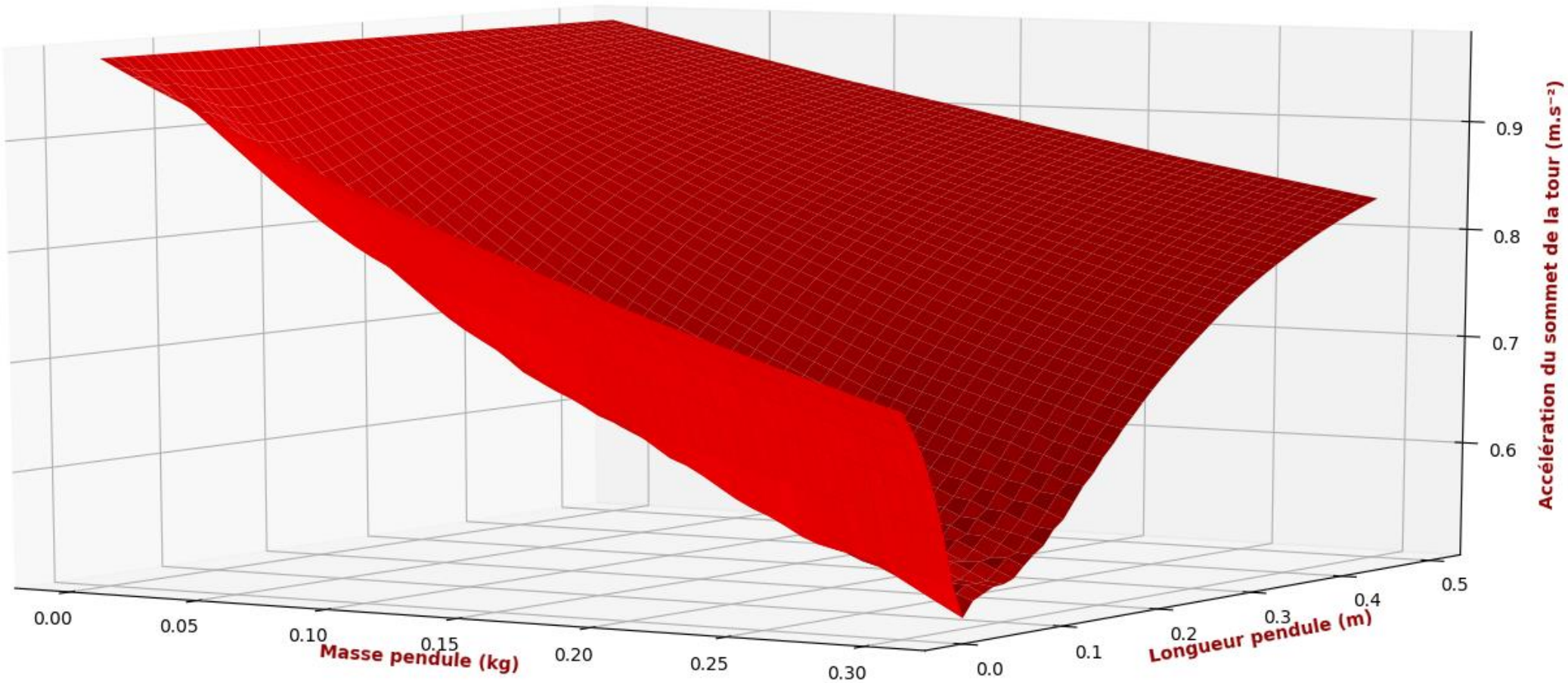
- Frottement w_2 proche du frottement optimal
- Accélérations maximales similaires pour w_0 et w_2



Script Python en annexe I et N

Optimisation des paramètres avec python:

Courbe de l'accélération maximale optimisée en fonction de la masse et de la longueur du pendule

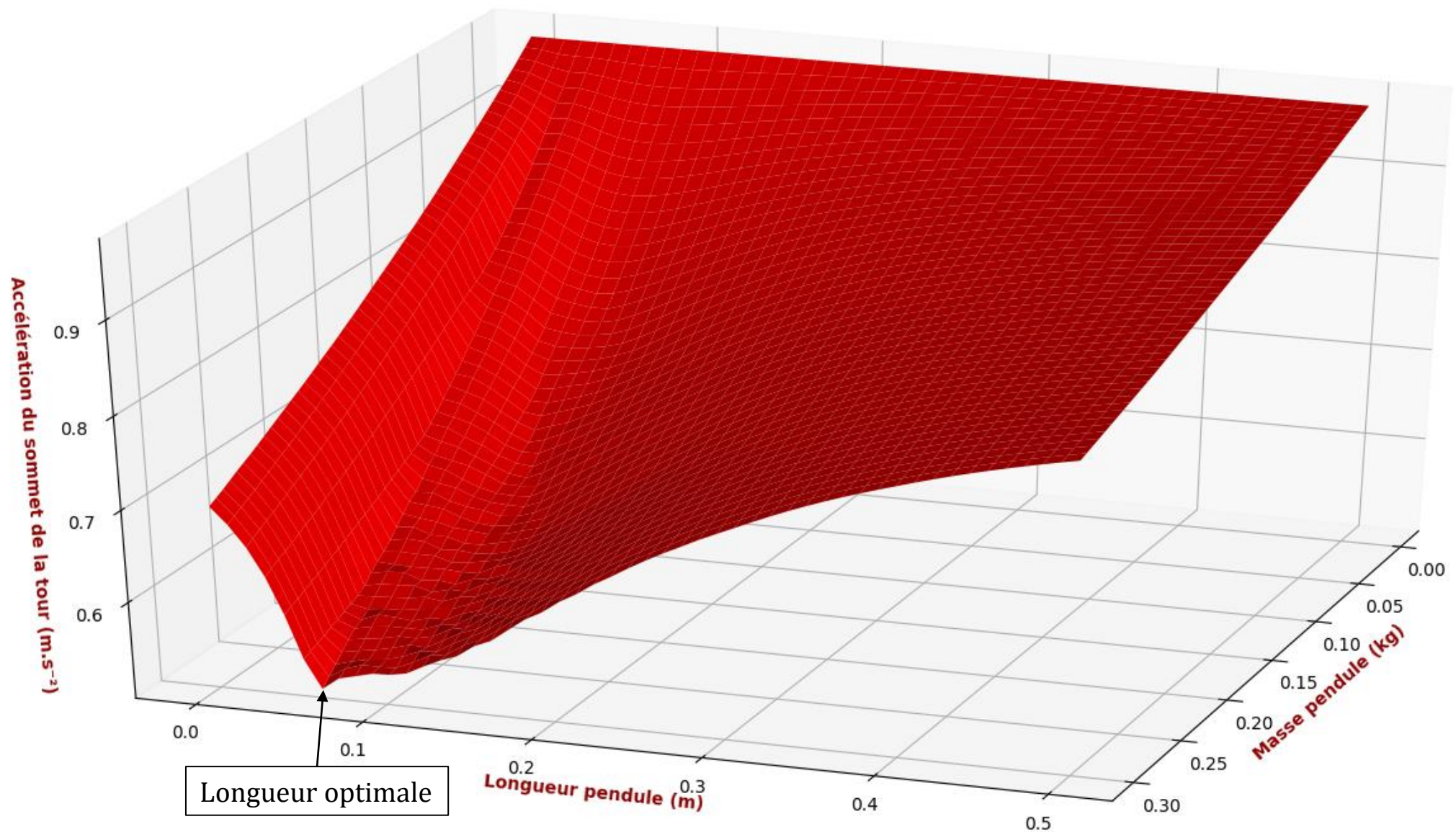


Pas de masse optimale

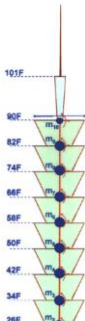
Script Python en annexe J

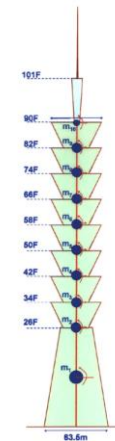
Optimisation des paramètres avec python:

Courbe de l'accélération maximale optimisée en fonction de la masse et de la longueur du pendule



Script Python en annexe J

- Efficacité vérifiée
 - Modélisation complexe mais possible et proche de la réalité du laboratoire
 - Optimisations:
 - Indispensables avant une mise en œuvre à grande échelle
 - Nécessité d'un asservissement
 - Un modèle qui ne peut se transposer à plus grande échelle car maquette trop différente d'un gratte ciel réel
 - Modèles plus complexes à mettre en œuvre:
 - Travail sur les structures complexes
 - Modélisation plus fine des matériaux
- 
- The diagram shows a vertical cross-section of a building model. It features a central vertical axis with horizontal lines representing floor levels. The levels are labeled from top to bottom: 101F, 90F, 82F, 74F, 66F, 58F, 50F, 42F, 34F, and 26F. The building is depicted with a series of green and yellow trapezoidal shapes representing the floor slabs and walls. A red vertical line runs through the center, possibly indicating a core or a specific structural element. The overall structure is symmetrical about the central axis.



Annexe : Plan

Études mécaniques et résultats informatiques:

Annexe A: Modélisation d'une poutre verticale

Annexe B: Mise en équation du système

Annexe C: Étude permettant la détermination des constantes

Annexe D: Signal d'entrée en triangle de vitesse

Annexe E: Étude et optimisation harmonique

Annexe F: Optimisation à masse fixée

Annexe G: Comparaison Euler / Scipy

Scripts Python:

Annexe H: Outils modélisation

Annexe I: Mise en œuvre des optimisations

Annexe J: Plan d'optimisation

Annexe K: Comparaison Euler / Scipy

Annexe L: Étude harmonique

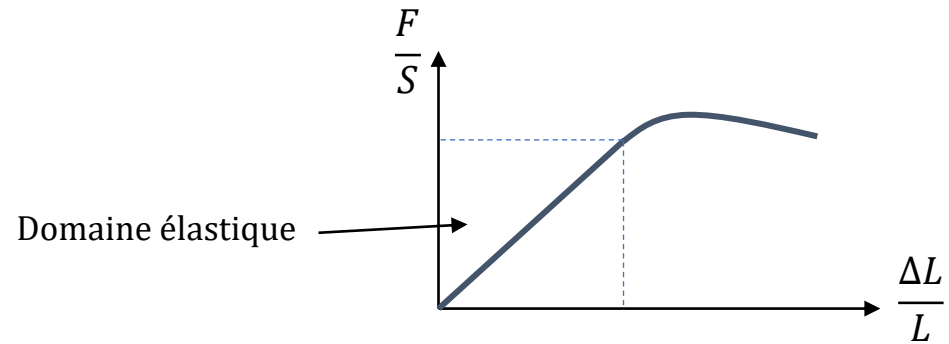
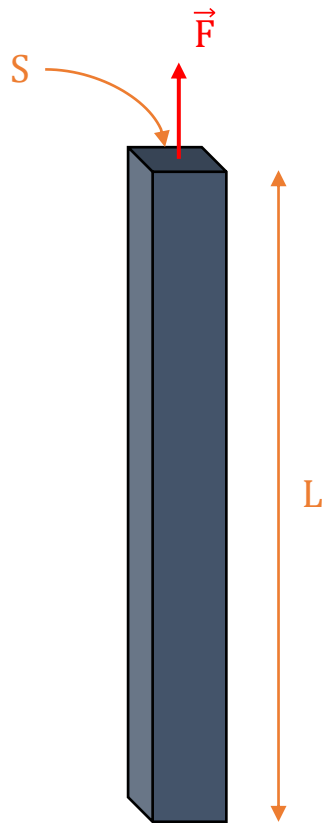
Annexe M: Étude à masse fixée

Annexe N: Exploitation des fichiers Arduino

Annexe A

Modélisation d'une poutre verticale:

Définition du module d'Young E dans le domaine d'élasticité

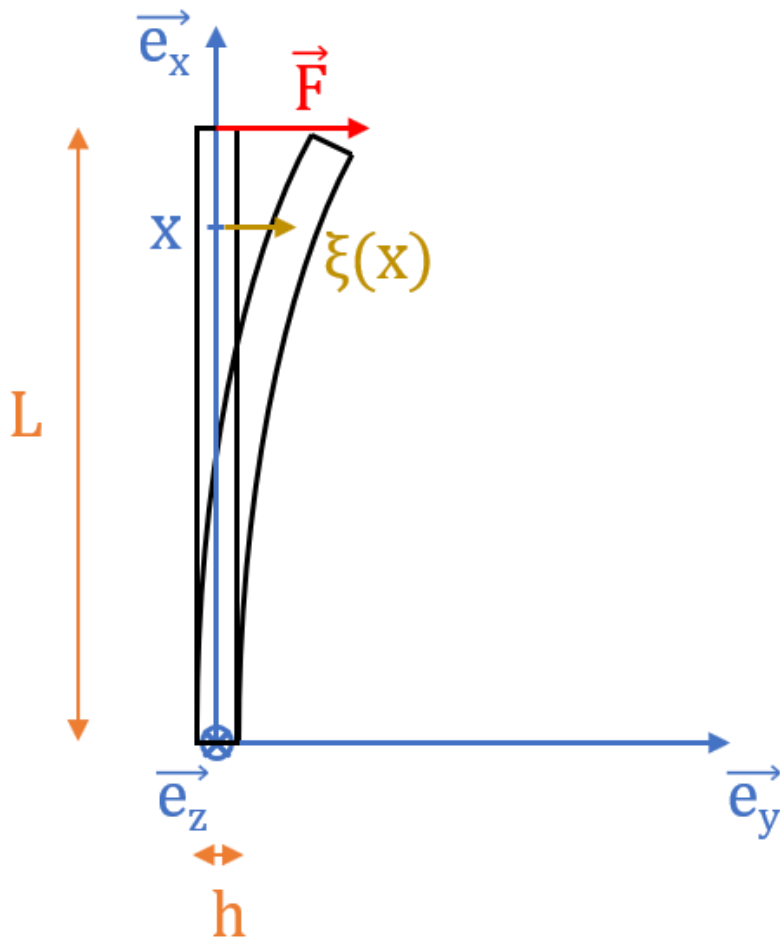


$$\frac{\Delta L}{L} = \frac{F}{ES}$$

Annexe A

Modélisation d'une poutre verticale:

Déformation d'une poutre encastée soumise à une force perpendiculaire sur l'extrémité libre:



Poutre de section rectangulaire:

- Longueur L
- Largeur b
- Epaisseur h

Annexe A

Modélisation d'une poutre verticale:

$$\alpha(x) = \frac{dy}{dx} = \frac{d\xi}{dx}$$

Moment quadratique d'une section par rapport à Gz:

$$I_{gz} = \frac{bh^3}{12}$$

Moment fléchissant:

$$M(x) = EI_{gz} \frac{d\alpha}{dx}(x) = EI_{gz} \frac{d^2\xi}{dx^2}(x)$$

Moment de la force \vec{F} :

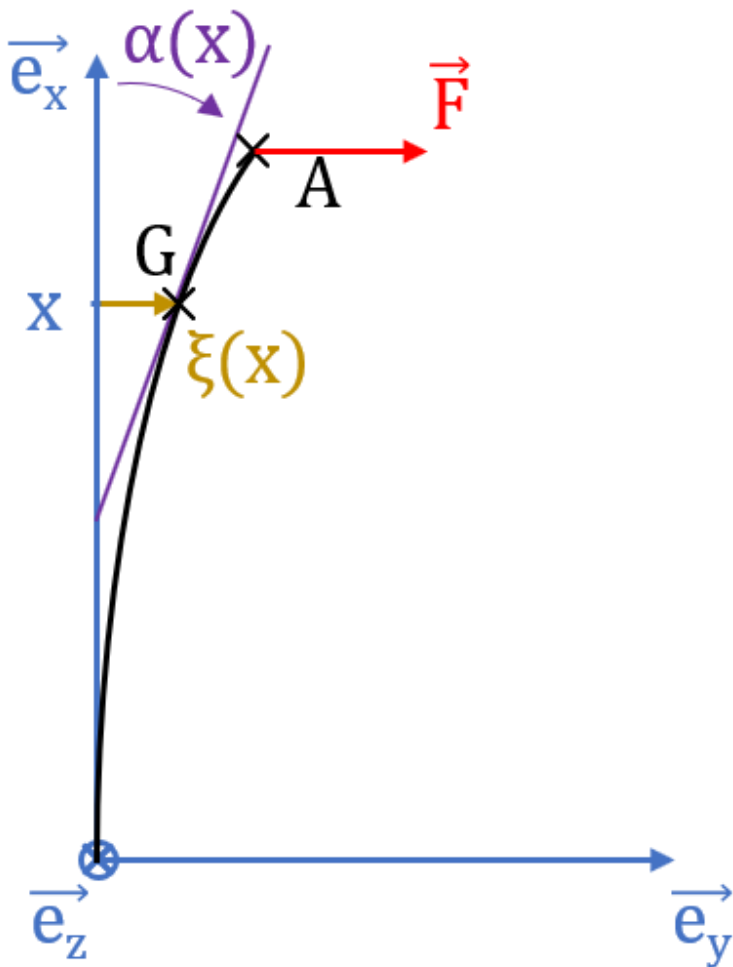
$$\overrightarrow{M_{G,\vec{F}}} = \overrightarrow{GA} \wedge \vec{F} = F(L-x) \cdot \vec{e}_z$$

$$\text{À l'équilibre : } M(x) = \overrightarrow{M_{G,\vec{F}}} \cdot \vec{e}_z \Rightarrow EI_{gz} \frac{d^2\xi}{dx^2} = F(L-x)$$

$$d'où : \xi(x) = \frac{12F}{Ebh^3} \left(L \frac{x^2}{2} - \frac{x^3}{6} \right) + Ax + B$$

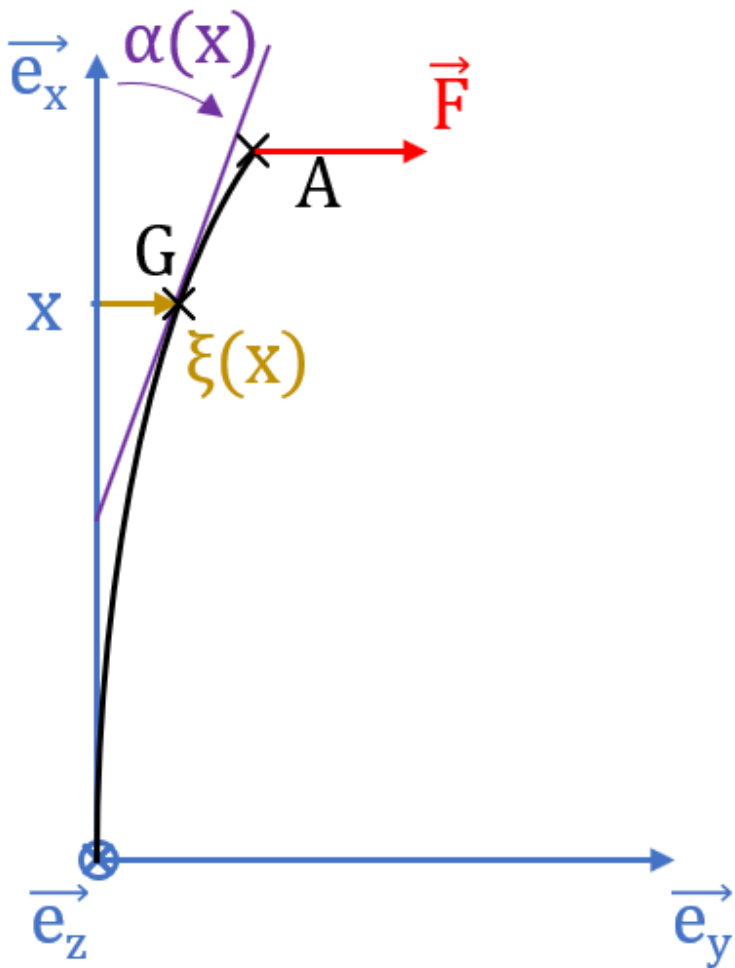
$$\begin{cases} \xi(0) = 0 \\ \dot{\xi}(0) = 0 \end{cases} \Rightarrow A = B = 0$$

$$\text{Enfin : } \xi(x) = \frac{12F}{Ebh^3} \left(L \frac{x^2}{2} - \frac{x^3}{6} \right)$$



Annexe A

Modélisation d'une poutre verticale:



$$\Delta = \xi(L) = \frac{4FL^3}{Ebh^3}$$

$$F = k\Delta \text{ avec } k = \frac{Eb}{4} \frac{h^3}{L}$$

D'où l'équivalence avec un ressort

Annexe B

Mise en équation du système:

1- On isole (2)

BAME à (2):

- Poids: $_G \left\{ \begin{array}{c} m_d g \cdot \vec{e}_z \\ \vec{0} \end{array} \right\}$
- 1→2: $_B \left\{ \begin{array}{c} -T_0 \cdot \vec{e}_r \\ \vec{0} \end{array} \right\}$
- Frottements: $_G \left\{ \begin{array}{c} -w\dot{\theta} \cdot \vec{e}_\theta \\ \vec{0} \end{array} \right\}$

Torseur dynamique de (2) au point B:

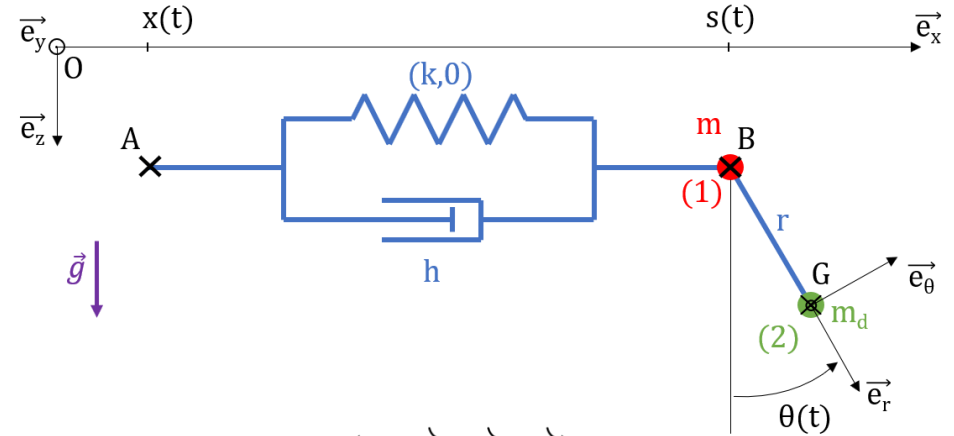
$$_B \left\{ \begin{array}{c} m_d \cdot \overrightarrow{a_{G \in 2/0}} \\ \overrightarrow{\delta_{A \in 2/0}} \end{array} \right\} = _B \left\{ \begin{array}{c} m_d(\ddot{s} \cdot \vec{e}_x + r\ddot{\theta} \cdot \vec{e}_\theta - m_d r \dot{\theta}^2 \cdot \vec{e}_r) \\ J\ddot{\theta} \cdot \vec{e}_y \end{array} \right\} \quad \text{avec } J = \int r^2 dm = m_d r^2$$

Théorème de la résultante dynamique appliqué à (2):

$$m_d(\ddot{s} \cdot \vec{e}_x + r\ddot{\theta} \cdot \vec{e}_\theta - r\dot{\theta}^2 \cdot \vec{e}_r) = m_d g \cdot \vec{e}_z - T_0 \cdot \vec{e}_r - w\dot{\theta} \cdot \vec{e}_\theta$$

Puis par projection selon \vec{e}_x et \vec{e}_z :

$$\boxed{\begin{cases} m_d(\ddot{s} + r\ddot{\theta} \cos \theta - r\dot{\theta}^2 \sin \theta) = -T_0 \sin \theta - w\dot{\theta} \cos \theta \\ -m_d(r\ddot{\theta} \sin \theta + r\dot{\theta}^2 \cos \theta) = m_d g - T_0 \cos \theta + w\dot{\theta} \sin \theta \end{cases}}$$



$\mathcal{R}_0 = (0, \vec{e}_x, \vec{e}_y, \vec{e}_z)$ Repère galiléen

$$\overrightarrow{OA} = x(t) \cdot \vec{e}_x$$

$$\overrightarrow{OB} = s(t) \cdot \vec{e}_x$$

$$\overrightarrow{AG} = r \cdot \vec{e}_r$$

$$\theta = (\vec{e}_z, \vec{e}_r)$$

Annexe B

Mise en équation du système:

2- On isole (1)

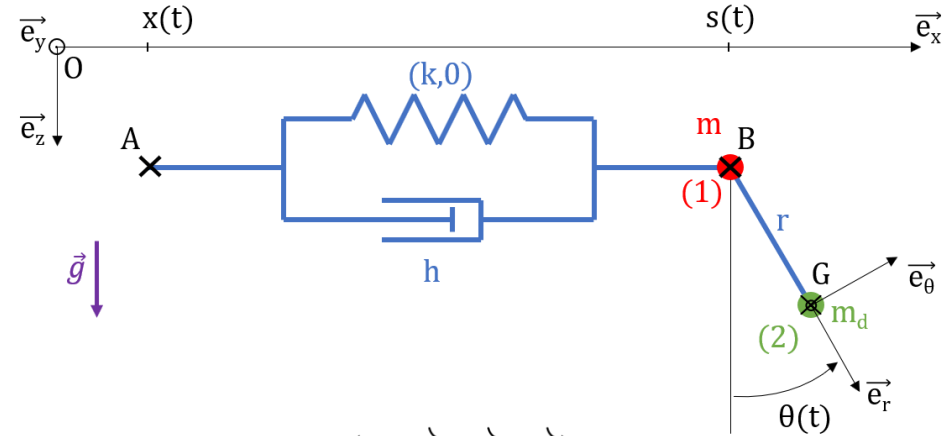
BAME à (1):

- Poids:
$$_B \left\{ \begin{array}{c} mg \cdot \vec{e}_z \\ \vec{0} \end{array} \right\}$$
- 2→1:
$$_B \left\{ \begin{array}{c} T_0 \cdot \vec{e}_r \\ \vec{0} \end{array} \right\}$$
- Frottements:
$$_B \left\{ \begin{array}{c} -h(\dot{s} - \dot{x}) \cdot \vec{e}_x \\ \vec{0} \end{array} \right\}$$
- Ressort:
$$_B \left\{ \begin{array}{c} -k(s - x) \cdot \vec{e}_x \\ \vec{0} \end{array} \right\}$$

Torseur dynamique de (1) au point B:
$$_B \left\{ \begin{array}{c} m\ddot{s} \cdot \vec{e}_x \\ \vec{0} \end{array} \right\}$$

Théorème de la résultante dynamique appliqué à (1) et projeté selon \vec{e}_x :

$$T_0 \sin \theta = m\ddot{s} + h(\dot{s} - \dot{x}) + k(s - x)$$



$$\begin{aligned} \mathcal{R}_0 &= (0, \vec{e}_x, \vec{e}_y, \vec{e}_z) \text{ Repère galiléen} \\ \vec{OA} &= x(t) \cdot \vec{e}_x \\ \vec{OB} &= s(t) \cdot \vec{e}_x \\ \vec{AG} &= r \cdot \vec{e}_r \\ \theta &= (\vec{e}_z, \vec{e}_r) \end{aligned}$$

Annexe B

Mise en équation du système:

$$\begin{cases} m_d(\ddot{s} + r\ddot{\theta} \cos \theta - r\dot{\theta}^2 \sin \theta) = -T_0 \sin \theta - w\dot{\theta} \cos \theta & (1) \\ m_d g = -m_d(r\ddot{\theta} \sin \theta + r\dot{\theta}^2 \cos \theta) + T_0 \cos \theta - w\dot{\theta} \sin \theta & (2) \\ m\ddot{s} = T_0 \sin \theta + h(\dot{x} - \dot{s}) + k(x - s) & (3) \end{cases}$$

puis (1) * cos θ + (2) * sin θ donne :

$$\begin{aligned} m_d g \sin \theta &= m_d r (\ddot{\theta} \sin^2 \theta + \dot{\theta}^2 \cos \theta \sin \theta) - T_0 \cos \theta \sin \theta + w\dot{\theta} \sin^2 \theta + m_d (\ddot{s} \cos \theta + \\ & r (\ddot{\theta} \cos^2 \theta - \dot{\theta}^2 \cos \theta \sin \theta)) + T_0 \cos \theta \sin \theta + w\dot{\theta} \cos^2 \theta \\ \Rightarrow m_d g \sin \theta &= m_d r \ddot{\theta} + w\dot{\theta} + m_d \ddot{s} \cos \theta \end{aligned}$$

enfin (1) dans (3) donne :

$$\begin{aligned} m\ddot{s} &= -w\dot{\theta} \cos \theta - m_d (\ddot{s} + r(\ddot{\theta} \cos \theta - \dot{\theta}^2 \sin \theta)) + h(\dot{x} - \dot{s}) + k(x - s) \\ \Rightarrow (m + m_d)\ddot{s} + m_d r \ddot{\theta} \cos \theta &= h(\dot{x} - \dot{s}) + k(x - s) - w\dot{\theta} \cos \theta + m_d r \dot{\theta}^2 \sin \theta \end{aligned}$$

$$\begin{aligned} \begin{cases} (m + m_d)\ddot{s} + m_d r \ddot{\theta} \cos \theta = h(\dot{x} - \dot{s}) + k(x - s) - w\dot{\theta} \cos \theta + m_d r \dot{\theta}^2 \sin \theta \\ m_d g \sin \theta = m_d r \ddot{\theta} + w\dot{\theta} + m_d \ddot{s} \cos \theta \end{cases} \\ \Rightarrow \begin{cases} (m + m_d)\ddot{s} + m_d r \ddot{\theta} \cos \theta = h(\dot{x} - \dot{s}) + k(x - s) - w\dot{\theta} \cos \theta + m_d r \dot{\theta}^2 \sin \theta \\ m_d r \ddot{\theta} + m_d \ddot{s} \cos \theta = -m_d g \sin \theta - w\dot{\theta} \end{cases} \end{aligned}$$

Conclusion:

$$\begin{pmatrix} m_d r & m_d \cos \theta \\ m_d r \cos \theta & m + m_d \end{pmatrix} \begin{pmatrix} \ddot{\theta} \\ \ddot{s} \end{pmatrix} = \begin{pmatrix} -m_d g \sin \theta - w\dot{\theta} \\ h(\dot{x} - \dot{s}) + k(x - s) - w\dot{\theta} \cos \theta + m_d r \dot{\theta}^2 \sin \theta \end{pmatrix}$$

Annexe C

Étude permettant la détermination des constantes:

On isole m_d :

BAME à m_d :

• Poids:

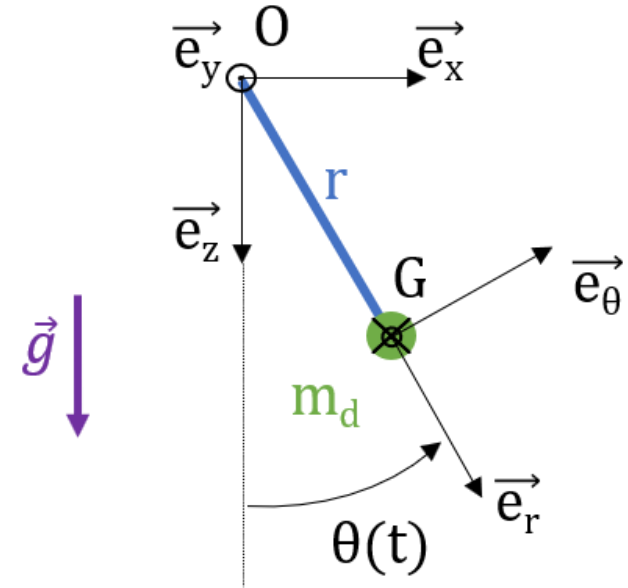
$$G \left\{ \begin{array}{c} m_d g \cdot \vec{e}_z \\ \vec{0} \end{array} \right\}$$

• Frottement:

$$G \left\{ \begin{array}{c} -w\dot{\theta} \cdot \vec{e}_\theta \\ \vec{0} \end{array} \right\}$$

• Réaction du support:

$$O \left\{ \begin{array}{c} -T_0 \cdot \vec{e}_r \\ \vec{0} \end{array} \right\}$$



Torseur dynamique de m_d au point O:

$$O \left\{ \begin{array}{c} m_d r \ddot{\theta} \cdot \vec{e}_\theta - m_d r \dot{\theta}^2 \cdot \vec{e}_r \\ J \ddot{\theta} \cdot \vec{e}_y \end{array} \right\} \quad \text{avec} \quad J = \int r^2 dm = m_d r^2$$

Théorème du moment dynamique appliqué à m_d en O et projeté selon \vec{e}_y :

$$J \ddot{\theta} = (\vec{OG} \wedge m_d g \cdot \vec{e}_z + \vec{OG} \wedge -w\dot{\theta} \cdot \vec{e}_\theta) \cdot \vec{e}_y$$

$$\Leftrightarrow J \ddot{\theta} = -r m_d g \sin \theta - r w \dot{\theta}$$

$$\Leftrightarrow \ddot{\theta} + \frac{wr}{J} \dot{\theta} + \frac{m_d r g}{J} \sin \theta = 0$$

$$\Leftrightarrow (E) \text{ avec } \theta \ll 1 \quad \text{et}$$

$$\omega_0 = \sqrt{\frac{m_d r g}{J}} \quad \xi = \frac{w}{2} \sqrt{\frac{r}{m_d g J}}$$

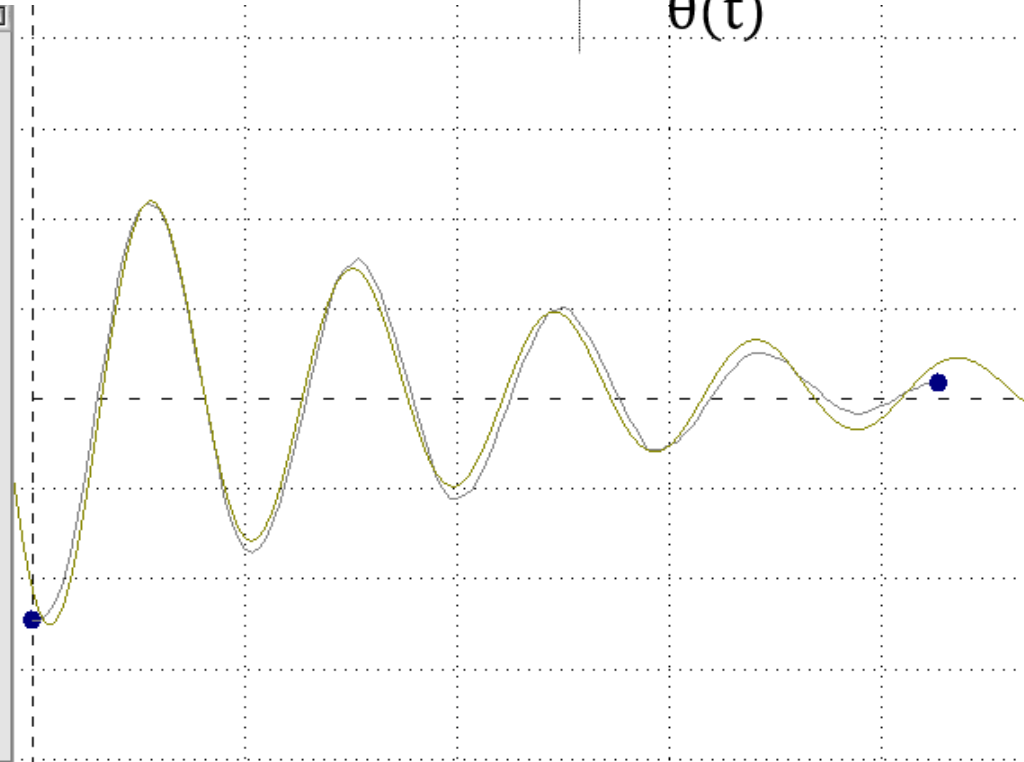
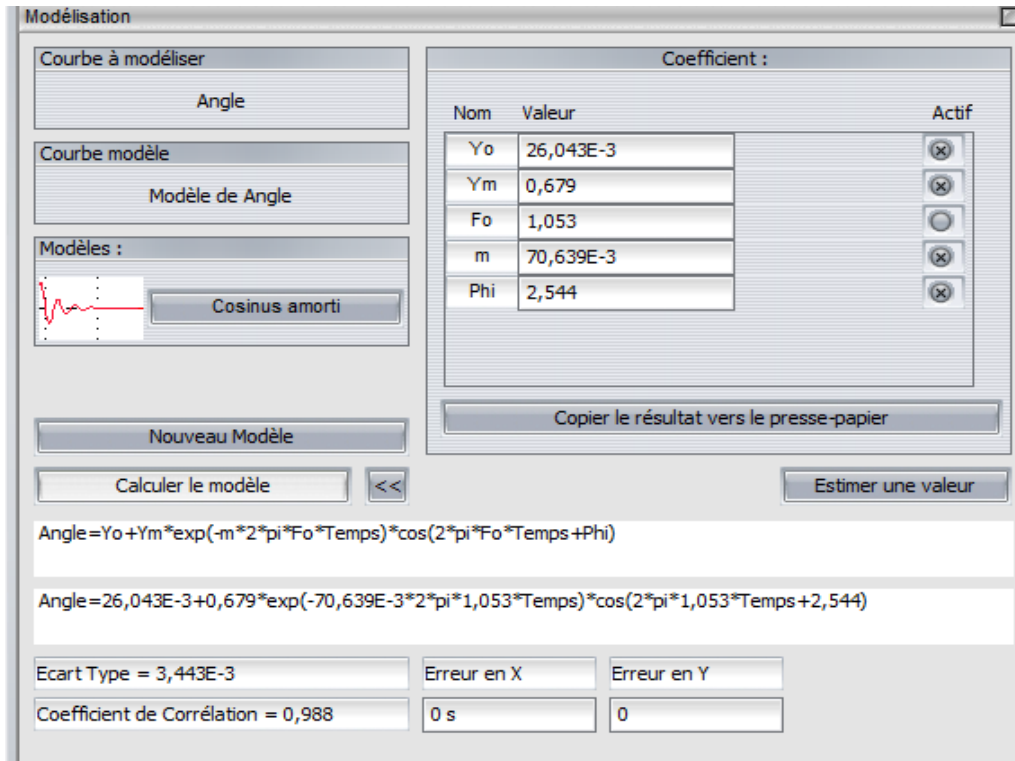
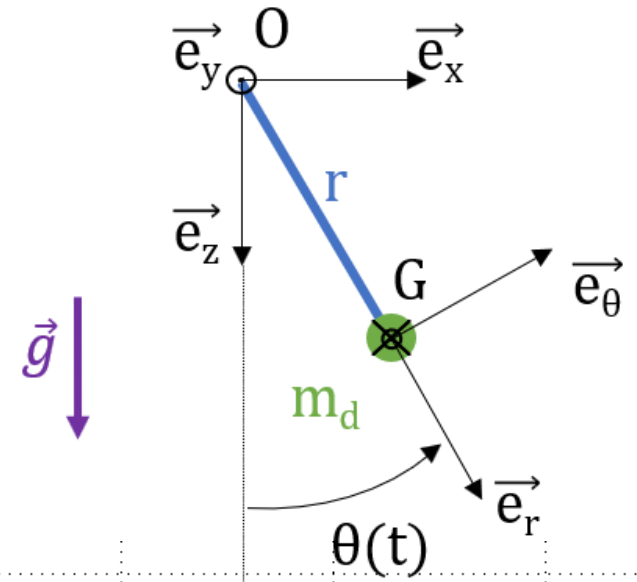
$$w = \frac{2\xi\omega_0 J}{r} = 2\xi\omega_0 m_d r$$

Annexe C

Étude permettant la détermination des constantes:

Application numérique:

$$w = 1,4 \cdot 10^{-3} \text{ N.s}$$



Annexe C

Étude permettant la détermination des constantes:

On isole m:

$$E_c = \frac{1}{2} m \dot{x}^2$$

$$P_{ressort} = -kx\dot{x}$$

$$P_{frottement} = -h\dot{x}^2$$

On applique le théorème de l'énergie cinétique à m:

$$\frac{dE_c}{dt} = \sum P_{ext}$$

$$\Leftrightarrow m\ddot{x}\dot{x} = -kx\dot{x} - h\dot{x}^2$$

$$\Leftrightarrow m\ddot{x} = -kx - h\dot{x}$$

$$\Leftrightarrow (E)$$

avec

$$\omega_0 = \sqrt{\frac{k}{m}} \quad \xi = \frac{h}{2\sqrt{km}}$$

Puis par identification des paramètres:

$$\begin{cases} k = m\omega_0^2 = \frac{h^2}{4m\xi^2} \\ \omega_0 = \frac{\omega}{\sqrt{1-\xi^2}} \\ \xi = \frac{h}{2m\omega_0} \end{cases}$$

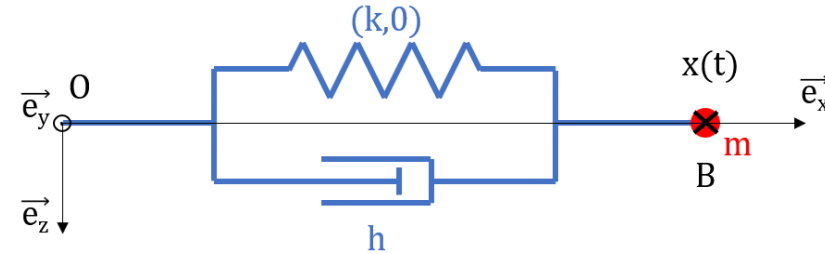
$$\Rightarrow \xi = \frac{h\sqrt{1-\xi^2}}{2m\omega} \Rightarrow \xi^2 + \left(\frac{h}{2m\omega}\right)^2(\xi - 1) = 0$$

$$\Rightarrow \xi^2 = \left(\frac{h}{2m\omega}\right)^2 \left(\frac{h}{4\omega m} \pm \sqrt{1 + \left(\frac{h}{4\omega m}\right)^2}\right)$$

$$\Rightarrow k = \frac{m\omega^2}{\left(\frac{h}{4\omega m} \pm \sqrt{1 + \left(\frac{h}{4\omega m}\right)^2}\right)^2}$$

$$k = \frac{m\omega^2}{\left(\frac{h}{4\omega m} \pm \sqrt{1 + \left(\frac{h}{4\omega m}\right)^2}\right)^2}$$

$$h = 2m\xi\omega_0$$



$$(E) : \ddot{f} + 2\xi\omega_0\dot{f} + \omega_0^2 f = 0$$

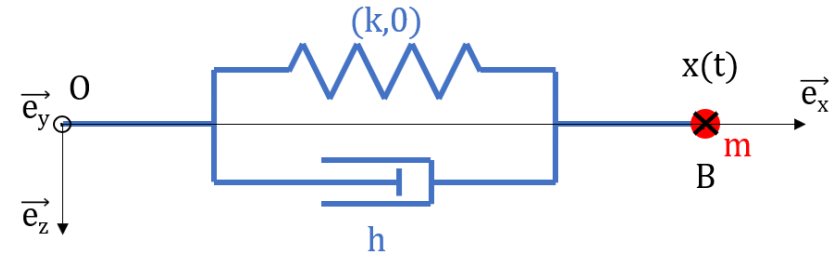
$$\Leftrightarrow f(t) = y_m \cos(\omega t + \varphi) e^{-\xi\omega_0 t} \text{ avec } \omega = \omega_0 \sqrt{1 - \xi^2}$$

Annexe C

Étude permettant la détermination des constantes:

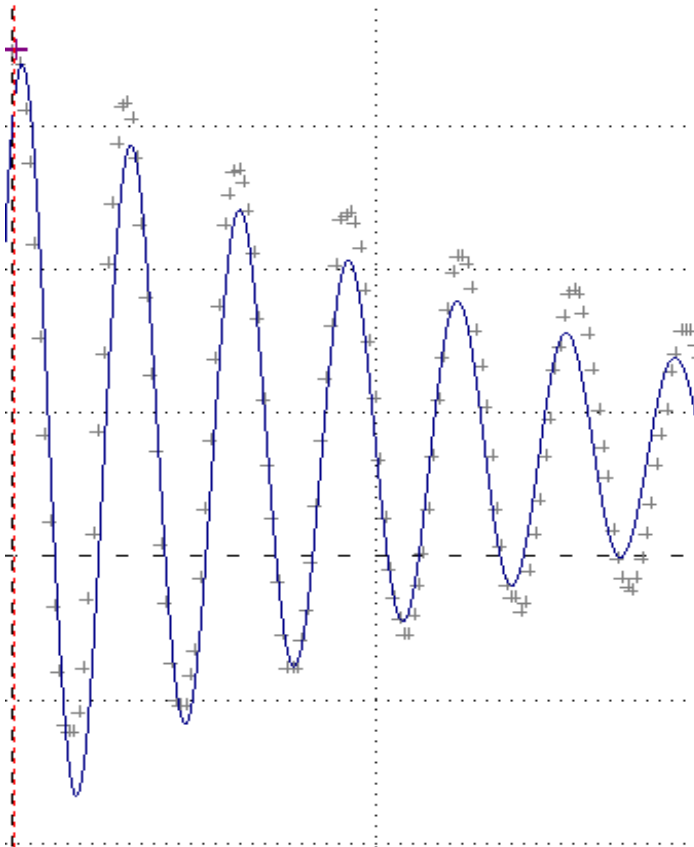
Applications numériques:

$$\begin{aligned} k &= 39 \text{ N.m} \\ h &= 0,37 \text{ N.s.m}^{-1} \end{aligned}$$



$$(E) : \ddot{f} + 2\xi\omega_0\dot{f} + \omega_0^2 f = 0$$

$$\Leftrightarrow f(t) = y_m \cos(\omega t + \varphi) e^{-\xi\omega_0 t} \text{ avec } \omega = \omega_0 \sqrt{1 - \xi^2}$$



Modélisation

Courbe à modéliser: Mouvement X{2}

Courbe modèle: Modèle de Mouvement X{2}

Modèles : Cosinus amorti

Nouveau Modèle

Calculer le modèle

Coefficient :

Nom	Valeur	Actif
Yo	36,601E-3	<input checked="" type="checkbox"/>
Ym	0,139	<input checked="" type="checkbox"/>
Fo	1,338	<input type="checkbox"/>
m	37,563E-3	<input checked="" type="checkbox"/>
Phi	-0,648	<input checked="" type="checkbox"/>

Copier le résultat vers le presse-papier

Estimer une valeur

Mouvement X = Yo + Ym * exp(-m * 2 * pi * Fo * Temps) * cos(2 * pi * Fo * Temps + Phi)

Mouvement X = 36,601E-3 + 0,139 * exp(-37,563E-3 * 2 * pi * 1,338 * Temps) * cos(2 * pi * 1,338 * Temps - 0,648)

Ecart Type = 849,561E-6

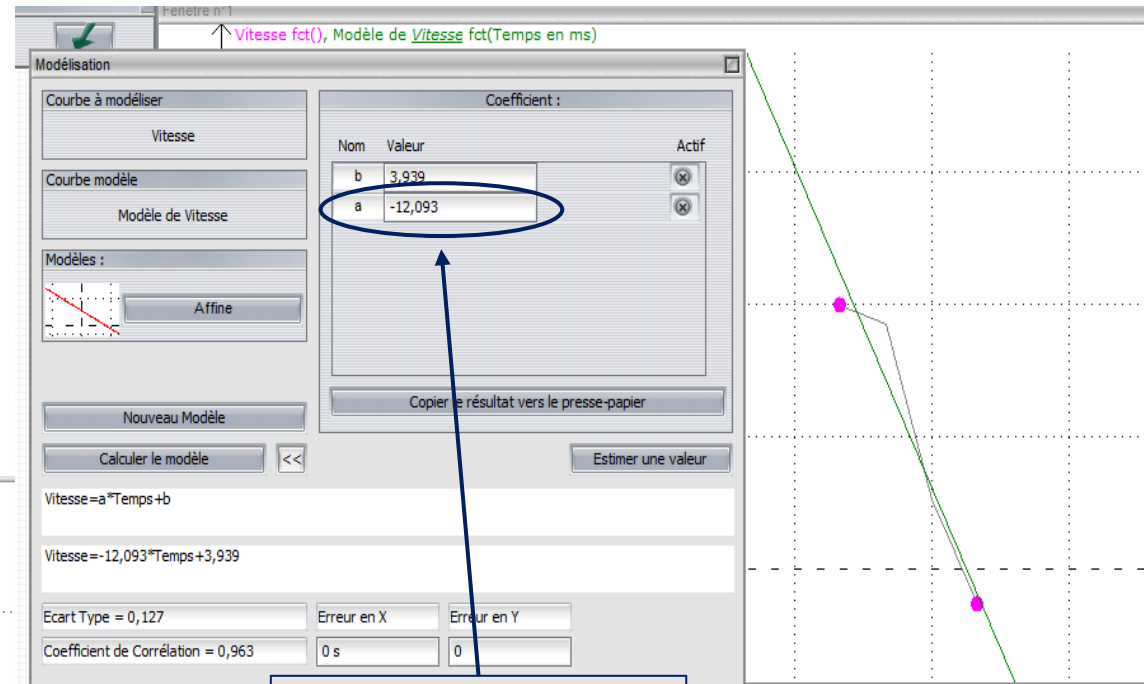
Coefficient de Corrélation = 0,925

Erreur en X: 0 s

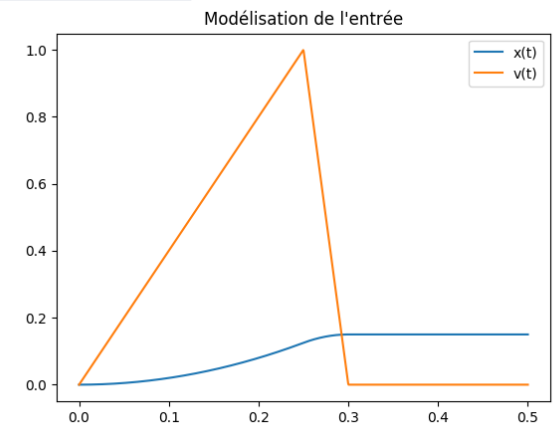
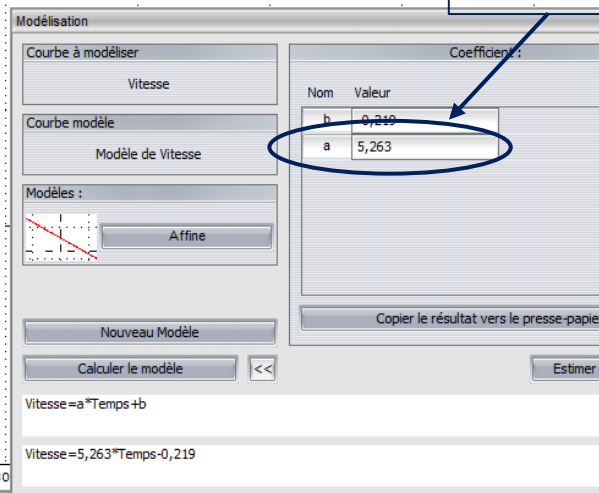
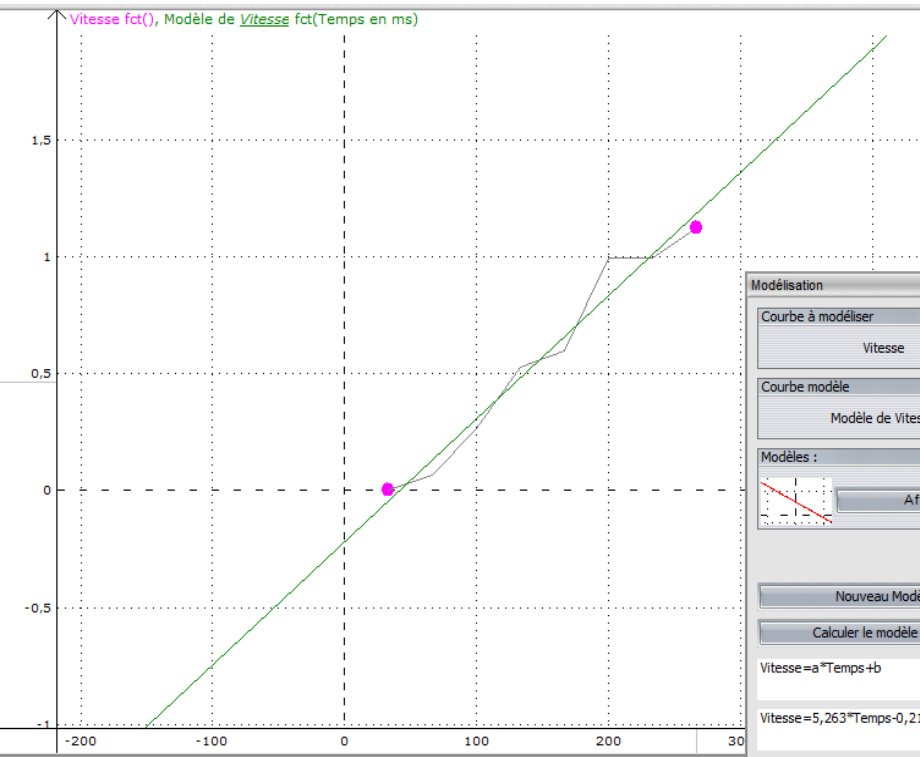
Erreur en Y: 0 m

Annexe D

Signal d'entrée en triangle de vitesse:



Pentes de la vitesse

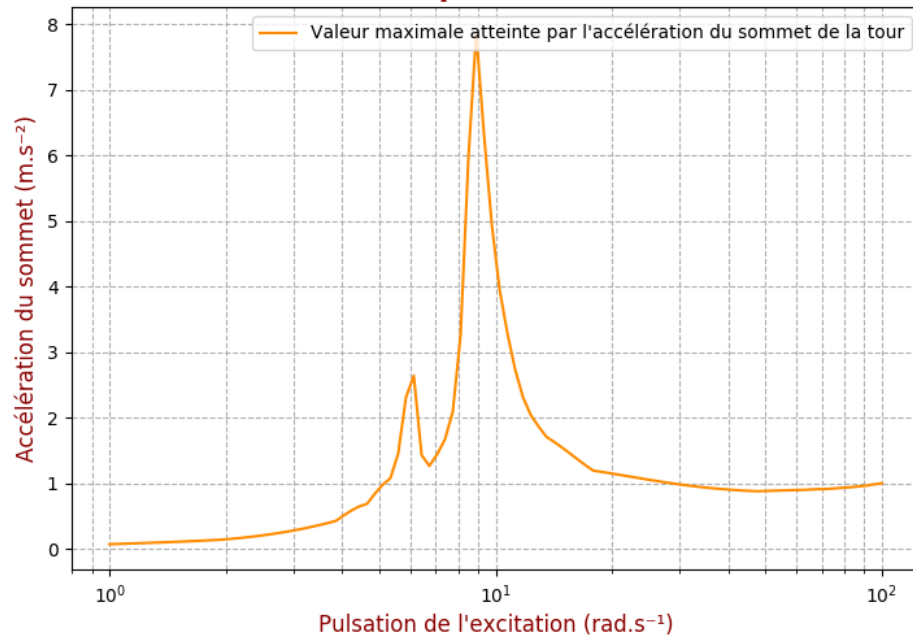


Script Python en annexe I

Annexe E

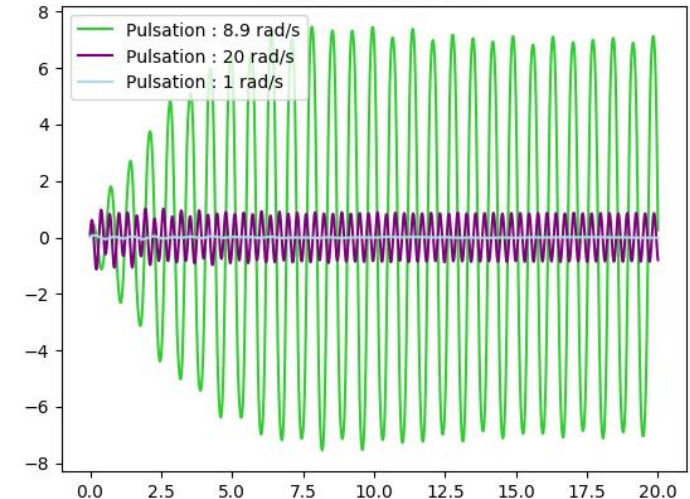
Étude et optimisation harmonique:

Système soumis à une excitation sinusoïdale d'amplitude 1 cm et de pulsation variable



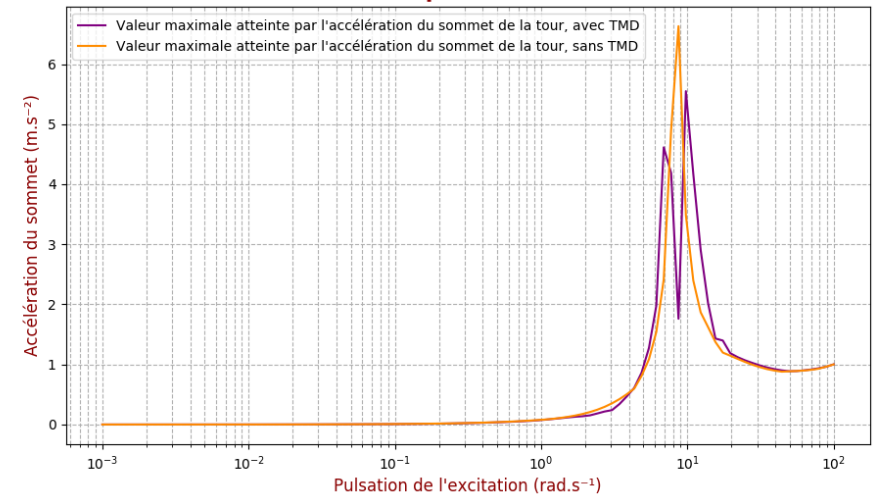
Script Python en annexe L

Dérivée seconde de S



t (s)

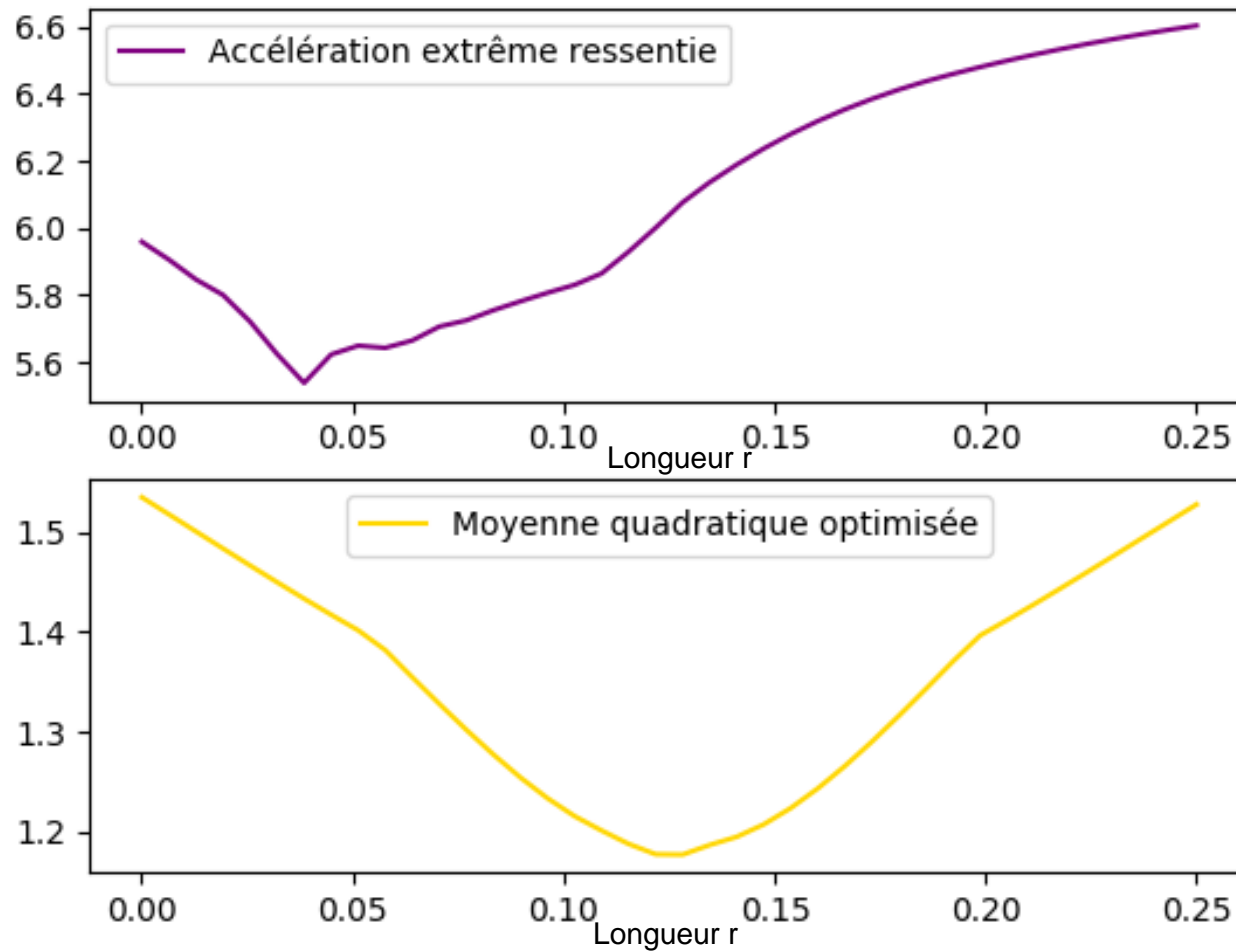
Système soumis à une excitation sinusoïdale d'amplitude 1 cm et de pulsation variable



Avec des paramètres optimisés pour la pulsation de résonance

Annexe F

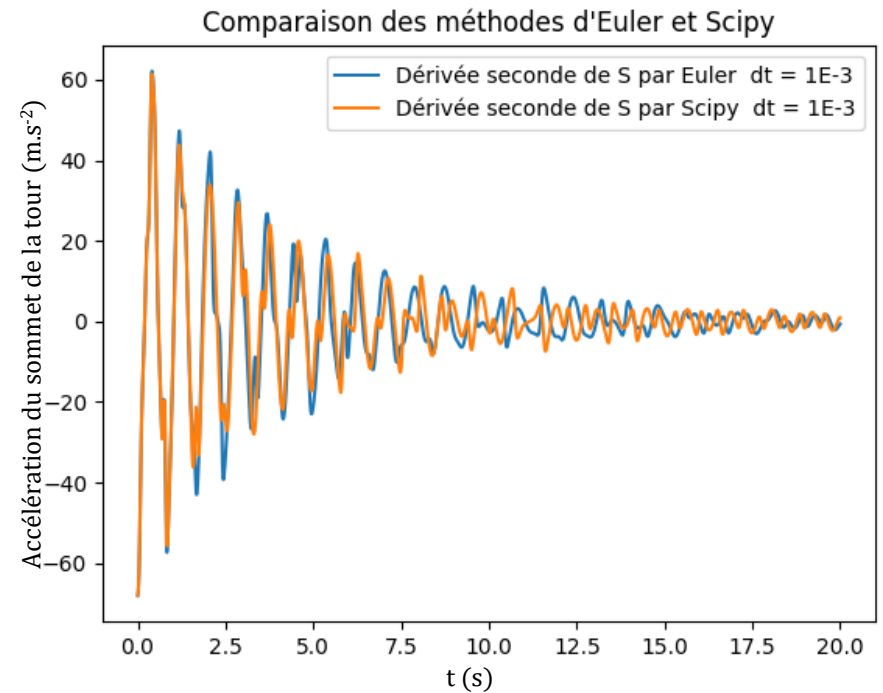
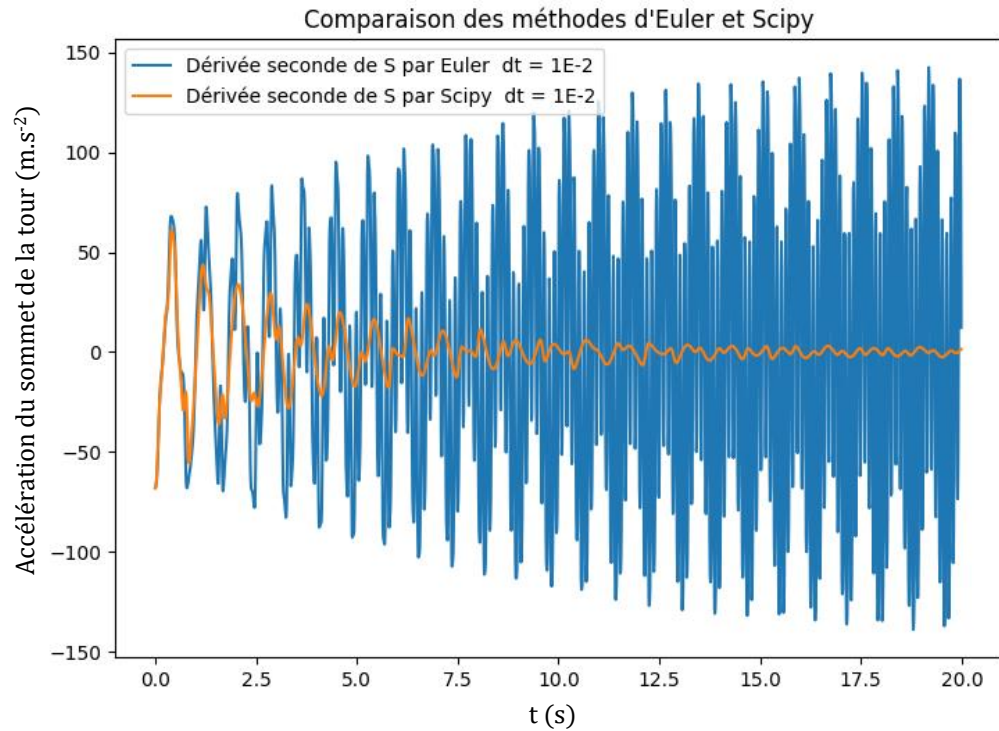
Optimisation à masse fixée:



Script Python en annexe M

Annexe G

Comparaison Euler / Scipy:



Script Python en annexe K

Annexe H

Outils modélisation

```
"""Programme définissant les fonctions utilisées pour la modélisation"""
import numpy as np
import scipy.integrate as integr
import matplotlib.pyplot as plt
"""Constantes de travail"""
m=0.580 # Masse Tour
h=0.372 # Frottements tiges
g=9.81 # Champ de pesanteur terrestre
k=39.46 # Constante de rappel du ressort équivalent
"""Valeurs de la maquette"""
w=1.4E-3 # Frottement pendule
L=.21 # Longueur TMD
md=.085 # Masse TMD
x=lambda t:0 # Perturbation
xp=lambda t:0 # Dérivée de la perturbation
#####
# Utilitaires #
#####
def systeme_spp_opp(Y,t):
    """Renvoie les dérivées secondes à l'instant t"""
    # Système matriciel :  $A \dot{X} = B$ 
    # Avec X le vecteur dérivée seconde de  $\theta$  / dérivée seconde de s
    o,op,s,sp=Y
    #Matrice A
    Aa=md*L
    Ab=np.cos(o)*md
    Ac=md*L*np.cos(o)
    Ad=m+md
    detA=Aa*Ad-Ab*Ac
    assert detA!=0, "Determinant de A nul !"
    detAi=1/detA #L'inverse de detA qui nous sera utile

    #Matrice B
    Ba=-md*g*np.sin(o)-w*op
    Bb=k*(x(t)-s)+h*(xp(t)-sp)+md*L*np.sin(o)*op**2-w*op*np.cos(o)

    X=[]
    X.append(detAi*(Ad*Bb-Ab*Bb))
    X.append(detAi*(-Ac*Bb+Aa*Bb))
    return(X)

def fCI(o=0,op=0,s=0,sp=0):
    """Renvoie les conditions initiales"""
    return(o,op,s,sp)
```

```
#####
# Méthode Scipy #
#####
def f(Y,t):
    X=systeme_spp_opp(Y,t)
    return(np.array([Y[1],X[0],Y[3],X[1]]))

def Methode_Scipy(CI,duree,precision):
    T = np.arange(0, duree, precision)
    Y = integr.odeint(f, np.array(CI), T)
    # On veut renvoyer aussi les courbes des dérivées secondes
    OPP=[]
    SPP=[]
    for i in range(len(Y[:])):
        X=systeme_spp_opp(Y[i],T[i])
        OPP.append(X[0])
        SPP.append(X[1])
    V=[Y[:,0],Y[:,1],OPP,Y[:,2],Y[:,3],SPP]
    return(T,V)

#####
# Affichages #
#####
def modification_para(xx=lambda t:0,xpp=lambda t:0,ww=7.57E-4,mdd=.058,LL=.24):
    """ Modifie les données de l'expérience"""
    global x,xp,w,md,L
    x,xp,w,md,L=xx,xpp,ww,mdd,LL

def aff(couleur,temps=10,extr=0):
    """Affiche la modélisation de la dérivée seconde de S"""
    T,V=Methode_Scipy(fCI(),temps,1e-3)

    choix=[5]
    textelegende=["Theta","Dérivée de Theta","Dérivée seconde de Theta",
                  "S","Dérivée de S","Dérivée seconde de S"]
    for c in choix:
        plt.plot(T,V[c],label=textelegende[c],color=couleur)

        if extr:
            plt.plot([0,temps],[max(V[c]),max(V[c])],color=couleur)
            plt.plot([0,temps],[min(V[c]),min(V[c])],color=couleur)
    plt.legend()
```


Annexe I

Mise en œuvre des optimisations

```
import numpy as np
import matplotlib.pyplot as plt

from OutilsModelisation import *
from AxeArduino import *
#####

def MoyenneQuadratique(Y):
    tot=0
    for i in Y:
        tot+=i
    moy=tot/len(Y)
    totq=0
    for i in Y: totq+=(i-moy)**2
    return np.sqrt(totq/len(Y))
#####
# Définition des entrées #
#####
vm=1.1
tm=.233
dt=0
def xx(t):
    if t<= tm:
        return (t**2*vm/(2*tm))
    elif t<= tm+dt:
        return (vm/dt*(t*(tm+dt-t/2)-tm/2*(tm+dt)))
    else:
        return xx(tm+dt)
def xpp(t):
    if t<= tm:
        return (vm/tm*t)
    elif t<= tm+dt:
        return (vm/dt*(tm+dt-t))
    else:
        return (0)

def EchelonPosition(couleur,ww=1.4E-3,mdd=.085,LL=0.21):
    modification_para(xx=xx,xpp=xpp,ww=ww,mdd=mdd,LL=LL)
    aff(couleur)

plt.title("Dérivée seconde de S")
EchelonPosition("orange") # Avec les valeurs de la maquette
EchelonPosition("purple",ww=36e-3) # Frottement w2
plt.show()
```

```
#####
# Optimisations #
#####
def VariationW(mdd=0.085,LL=0.21):
    """ Optimisation à md et L fixés """
    varW=np.linspace(-5,2,200)
    deltaMax=[]
    deltaMax2=[]
    for j in range(len(varW)):
        modification_para(xx,xpp,10**varW[j],mdd,LL)
        Y=Methode_Scipy(fCI(),20,1e-3)[1][5]
        deltaMax.append(max(max(Y),abs(min(Y))))
        deltaMax2.append(MoyenneQuadratique(Y))

    plt.subplot(211)
    plt.plot(varW,deltaMax,color="orange",label="Accélération extrême")
    plt.legend()

    plt.subplot(212)
    plt.plot(varW,deltaMax2,color="purple",label="Moyenne quadratique")

    plt.legend()
    plt.show()
    # On affiche les log des deux frottements optimaux trouvés :
    print(varW[deltaMax.index(min(deltaMax))])
    print(varW[deltaMax2.index(min(deltaMax2))])
#####
def VariationL(mdd=0.087,ww=1.4E-3):
    """ Optimisation à md et w fixés """
    varL=np.linspace(1E-4,.4,200)
    deltaMax=[]
    deltaMax2=[]
    for j in range(len(varL)):
        modification_para(xx,xpp,ww,mdd,varL[j])
        Y=Methode_Scipy(fCI(),20,1e-3)[1][5]
        deltaMax.append(max(max(Y),abs(min(Y))))
        deltaMax2.append(MoyenneQuadratique(Y))

    # On affiche les log des deux frottements optimaux trouvés :
    print(varL[deltaMax.index(min(deltaMax))])
    print(varL[deltaMax2.index(min(deltaMax2))])
    plt.subplot(211)
    plt.plot(varL,deltaMax)
    plt.subplot(212)
    plt.plot(varL,deltaMax2)
    plt.show()
```

Annexe J

Plan d'optimisation

```
import numpy as np
import matplotlib.pyplot as plt

from mpl_toolkits.mplot3d import Axes3D
from OutilsModelisation import *
```

```
#####
# Entrée #
#####
```

```
vm=.1
tm=.5
dt=.05
def xx(t):
    if t<= tm:
        return(t**2*vm/(2*tm))
    elif t<= tm+dt:
        return(vm/dt*(t*(tm+dt-t/2)-tm/2*(tm+dt)))
    else:
        return xx(tm+dt)
def xpp(t):
    if t<= tm:
        return(vm/tm*t)
    elif t<= tm+dt:
        return(vm/dt*(tm+dt-t))
    else:
        return(0)
```

```
"""
xx=lambda t : 0.01*np.sin(8.2*t)
xpp=lambda t : 8.2*0.01*np.cos(8.2*t)
"""
```

```
#####
# Fonction d'optimisation du frottement #
#####
```

```
def MoyenneQuadratique(Y):
    """Renvoie la moyenne quadratique de la simulation"""
    tot=0
    for i in Y:
        tot+=i
    moy=tot/len(Y)
```

```
    totq=0
    for i in Y:
        totq+=(i-moy)**2
    return np.sqrt(totq/len(Y))
```

```
def Optimisation(m_,l_,wmin,wmax,nbW,dureeScipy,precisionScipy,methode):
    """Fonction d'optimisation à m et L fixés"""
    essais = np.linspace(wmin,wmax,nbW)
    listeAcc = []
    for w_ in essais:
        modification_para(xx=xx,xpp=xpp,ww=10**w_,mdd=m_,LL=l_)
        sim = Methode_Scipy(fCI(),dureeScipy,precisionScipy)[1][5]
```

```
        if methode:
            ma=abs(max(sim))
            mi=abs(min(sim))
            listeAcc.append(max(ma,mi))
        else : listeAcc.append(MoyenneQuadratique(sim))
```

```
    accMinimale = min( listeAcc )
    p=listeAcc.index(accMinimale)
    woptimal= essais[p]
```

```
    return (accMinimale,woptimal)
```

Annexe J

Plan d'optimisation

```
#####  
# Surface d'optimisation #  
#####
```

```
""" Constantes """
```

```
nb = 200 # Nombre de points pour la courbe  
m_m = .085 # Masse maximale du pendule  
l_m = .25 # Longueur maximale du pendule  
.....
```

```
# Plan M,L :
```

```
Axes = Axes3D(plt.figure())
```

```
def Plan(Mm,Lm,largeurGrille):
```

```
    M_ = np.linspace(1E-4, Mm, largeurGrille)  
    L_ = np.linspace(1E-4, Lm, largeurGrille)  
    return(M_,L_)
```

```
MM,LL=Plan(m_m,l_m,nb)  
L,M = np.meshgrid(LL,MM)
```

```
# Cotes :
```

```
Z = np.zeros([nb,nb],float)  
W = np.zeros([nb,nb],float)
```

```
""" Constantes """
```

```
Cwmin      = -5    # Log du frottement minimal  
Cwmax      = 1     # Log du frottement maximal  
CnbW       = 100   # Nombre de valeur du frottement essayées  
CdureeScipy = 2     # Durée de la simulation  
CprecisionScipy = 1e-2 # Précision de la simulation
```

```
methode     = True # True pour extreme, False pour quadratique  
.....
```

```
def Cotes():  
    c=nb**2  
    for i in range(nb):  
        for j in range(nb):  
            print(c)  
            c-=1  
  
            Lz,Lw=OptimisationW(MM[i],LL[j],Cwmin,Cwmax,  
                                CnbW,CdureeScipy,CprecisionScipy,methode)  
  
            Z[i,j]=Lz  
            W[i,j]=Lw
```

```
# Affichage 3D :
```

```
Cotes()
```

```
Axes.plot_surface(M,L,Z)
```

```
Axes.set_xlabel("Masse pendule (kg)",fontdict={'color':'darkred',  
                                                'weight': 'bold',  
                                                'size': 10})
```

```
Axes.set_ylabel("Longueur pendule (m)",fontdict={'color':'darkred',  
                                                'weight': 'bold',  
                                                'size': 10})
```

```
Axes.set_zlabel("Accélération du sommet de la tour (m.s\u207B\u00B2)",  
                fontdict={'color':'darkred',  
                        'weight': 'bold',  
                        'size': 10})
```

```
plt.show()
```

Annexe K

Comparaison Euler / Scipy

```
"""Modélisation : Comparaison Euler/Scipy"""
import numpy as np
import scipy.integrate as integr
import matplotlib.pyplot as plt
""" Constantes """
g=9.81      # Champ de pesanteur terrestre
m=.58       # Masse Tour
k=39.46     # Constante de rappel du ressort équivalent au bâtiment
h=.372      # Coefficient du frottement dans les tiges
md=.085     # Masse TMD
L=.21       # Longueur pendule (TMD)
w=7E-4      # Frottement dans la liaison pendule

#####
# Utilitaires
#####
def systeme_spp_opp(Y):
    """Renvoie les dérivées secondes de theta et s à l'instant t"""
    # Système matriciel : A X = B
    # Avec X le vecteur dérivée seconde de theta / dérivée seconde de s
    o,op,s,sp=Y

    #Matrice A
    Aa=md*L
    Ab=np.cos(o)*md
    Ac=md*L*np.cos(o)
    Ad=m+md
    detA=Aa*Ad-Ab*Ac

    assert detA!=0, "Determinant de A nul !"
    detAi=1/detA #L'inverse de detA qui nous sera utile

    #Matrice B
    Ba=-md*g*np.sin(o)-w*op
    Bb=-k*s-h*sp+md*L*np.sin(o)*op**2-w*op*np.cos(o)

    X=[]
    X.append(detAi*(Ad*Ba-Ab*Bb))
    X.append(detAi*(-Ac*Ba+Aa*Bb))
    return(X)

def fCI(o=0,op=0,s=0,sp=0):
    """Renvoie les conditions initiales"""
    return(o,op,s,sp)

#####
# Méthode Scipy
#####
def f(Y,t):
    X=systeme_spp_opp(Y)
    return(np.array([Y[1],X[0],Y[3],X[1]]))

def Methode_Scipy(CI,duree,dt):
    T = np.arange(0, duree, 10**-dt)
    Y = integr.odeint(f, np.array(CI), T)

    # On veut renvoyer aussi les courbes des dérivées secondes
    OPP=[]
    SPP=[]
    for i in range(len(Y[:])):
        X=systeme_spp_opp(Y[i])
        OPP.append(X[0])
        SPP.append(X[1])

    V=[Y[:,0],Y[:,1],OPP,Y[:,2],Y[:,3],SPP]
    return(T,V,dt," par Scipy ")

#####
# Méthode Euler
#####
def Methode_Euler(CI,duree,dt):
    l=[0,1,3,4]#Les grandeurs auxquelles on applique Euler

    T = np.arange(0, duree, 10**-dt)
    V=[[CI[0]], [CI[1]], [], [CI[2]], [CI[3]], []]#Conditions initiales
    for t in T:
        Y=[V[0][-1],V[1][-1],V[3][-1],V[4][-1]]
        X=systeme_spp_opp(Y)#Le vecteur dérivée seconde

        V[2].append(X[0])#opp
        V[5].append(X[1])#spp
        #Mise en place Euler
        for i in l:
            V[i].append(V[i][-1]+V[i+1][-1]*10**-dt)
    for i in l:#Les grandeurs non dérivées seconde ont une valeur en trop
        V[i].pop()
    return(T,V,dt," par Euler ")
```

Annexe K

Comparaison Euler / Scipy

```
#####  
# Affichage #  
#####  
  
def affichage_courbes(donnees,choix):  
    """Choix des courbes"""  
    T,V,precision,nom_methode=donnees  
  
    textelegende=["Theta","Dérivée de Theta",  
                  "Dérivée seconde de Theta","S","Dérivée de S","Dérivée seconde de S"]  
    for c in choix:  
        plt.plot(T, V[c],label=textelegende[c]+nom_methode+" dt = 1E-"+str(precision))  
    plt.legend()  
  
def comparaison(comp):  
    # comp contient le code de la méthode : 0 pour Euler, 1 pour Scipy  
    # et la précision pour chaque méthode  
  
    for c in comp:  
        if c[0]==0:  
            affichage_courbes(Methode_Euler(fCI(s=1),20,c[1]),[5])  
        else:  
            affichage_courbes(Methode_Scipy(fCI(s=1),20,c[1]),[5])  
    plt.title("Comparaison des méthodes d'Euler et Scipy")  
    plt.show()  
  
comparaison([(1,4),(1,3)])
```


Annexe L

Étude harmonique

```
"""Étude harmonique"""

import numpy as np
import scipy.integrate as integr
import matplotlib.pyplot as plt

m=0.580 #Masse Tour
h=0.372 #Frottement tiges
g=9.81 #Champ de pesanteur terrestre
k=40 #Constante de rappel du ressort équivalent

w=1e8#1.4E-3 #Frottement pendule
L=0.21 #Longueur TMD
md=1e-4#0.085 #Masse TMD
x= lambda t: 0 #Excitation
xp= lambda t: 0 #Dérivée de l'excitation

#####
# Fonctions similaires à celles présentes dans les outils #
#####

def systeme_spp_opp(s,sp,o,op,t):
    Aa=md*L
    Ab=np.cos(o)*md
    Ac=md*L*np.cos(o)
    Ad=m+md
    detA=Aa*Ad-Ab*Ac
    detAi=1/detA #L'inverse de detA qui nous sera utile
    #Matrice B
    Ba=-md*g*np.sin(o)-w*op
    Bb=k*(x(t)-s)+h*(xp(t)-sp)+md*L*np.sin(o)*op**2-w*op*np.cos(o)
    X=[]
    X.append(detAi*(Ad*Ba-Ab*Bb))
    X.append(detAi*(-Ac*Bb+Aa*Bb))
    return(X)

def fCI(o=0,op=0,s=0,sp=0):
    return(o,op,s,sp)

#####

def f(Y,t):
    X=systeme_spp_opp(Y[2],Y[3],Y[0],Y[1],t)
    return(np.array([Y[1],X[0],Y[3],X[1]]))
```

Annexe L

Étude harmonique

```
def MethodeScipy(CI,duree):
    T = np.arange(0, duree, 10**-2.5)
    Y = integr.odeint(f, np.array(CI), T)
    #Acceleration:
    opp=[]
    spp=[]
    for i in range(len(Y[:,0])):
        X=systeme_spp_opp(Y[i,2],Y[i,3],Y[i,0],Y[i,1],T[i])
        opp.append(X[0])
        spp.append(X[1])
    ma=max(spp)
    mi=abs(min(spp))
    return(max(ma,mi))
#####
# Resonance #
#####
def resonance():
    global x, xp
    essais= 10*np.linspace(0,2,100)
    reponses = []
    for j in range(len(essais)) :
        print(100-j)
        i=essais[j]
        x= lambda t: np.sin(i *t)*0.01
        xp= lambda t: i* np.cos(i *t)*0.01
        a=MethodeScipy(fCI(),10)
        reponses.append(a)
    plt.plot(essais,reponses,label="Valeur maximale atteinte par l'accélération du sommet de la tour" ,color='darkorange')
    plt.legend()
    plt.grid(True,which="both",linestyle='--')
    plt.xscale('log')
    plt.xlabel("Pulsation de l'excitation (rad.s\u207B\u00B9)",fontdict={'color':'darkred',
        'weight': 'normal',
        'size': 12})
    plt.ylabel("Accélération du sommet (m.s\u207B\u00B2)",fontdict={'color':'darkred',
        'weight': 'normal',
        'size': 12})
    plt.title("Système soumis à une excitation sinusoïdale d'amplitude\n1 cm et de pulsation variable",
        fontdict={'color':'darkred',
        'weight': 'bold',
        'size': 16})
    plt.show()
    print(max(reponses),essais[list(reponses).index(max(reponses))])
resonance()
```

Annexe M

Étude à masse fixée

```
import numpy as np
import matplotlib.pyplot as plt
from OutilsModelisation import *

#####
# Entrée #
#####
vm=1.1
tm=.233
dt=0
def xx(t):
    if t<= tm:
        return(t**2*vm/(2*tm))
    elif t<= tm+dt:
        return(vm/dt*(t*(tm+dt-t/2)-tm/2*(tm+dt)))
    else:
        return xx(tm+dt)
def xpp(t):
    if t<= tm:
        return(vm/tm*t)
    elif t<= tm+dt:
        return(vm/dt*(tm+dt-t))
    else:
        return(0)

#xx=lambda t : 0.01*np.sin(8.9*t)
#xpp=lambda t : 8.9*0.01*np.cos(8.9*t)
```

Annexe M

Étude à masse fixée

```
#####
# Fonction d'optimisation de w #
#####
def MoyenneQuadratique(Y):
    """Renvoie la moyenne quadratique de la simulation"""
    tot=0
    for i in Y:
        tot+=i
    moy=tot/len(Y)

    totq=0
    for i in Y:
        totq+=(i-moy)**2
    return np.sqrt(totq/len(Y))

def Optimisation(l_,wmin,wmax,nbW,dureeScipy,precisionScipy):

    essais = np.linspace(wmin,wmax,nbW)
    listeAccExtreme1 = []
    listeAccExtreme2 = []
    for w_ in essais:
        modification_para(xx=xx,xpp=xpp,ww=10**w_,mdd=m_,LL=l_)
        sim = Methode_Scipy(fCI(),dureeScipy,precisionScipy)[1][5]

        ma=abs(max(sim))
        mi=abs(min(sim))
        listeAccExtreme1.append(max(ma,mi))
        listeAccExtreme2.append(MoyenneQuadratique(sim))

    accExtremeMinimale1 = min( listeAccExtreme1 )
    p1=listeAccExtreme1.index(accExtremeMinimale1)
    woptimal1= essais[p1]

    accExtremeMinimale2 = min( listeAccExtreme2 )
    p2=listeAccExtreme2.index(accExtremeMinimale2)
    woptimal2= essais[p2]

    return ((accExtremeMinimale1,accExtremeMinimale2),(woptimal1,woptimal2))

#####
# Courbe d'optimisation #
#####

""" Constantes """
nb = 200 # Nombre de points pour la courbe
m_ = .085 # Masse fixée
l_m = .25 # Longueur maximale du pendule

#####

# Valeurs de L :
L = np.linspace(1E-4,l_m,nb)

# Listes :
Z1 = np.zeros(nb,float)
W1 = np.zeros(nb,float)

Z2 = np.zeros(nb,float)
W2 = np.zeros(nb,float)
""" Constantes """
Cwmin = -5 # Log du frottement minimal
Cwmax = 1 # Log du frottement maximal
CnbW = 100 # Nombre de valeur du frottement essayées
CdureeScipy = 20 # Durée de la simulation
CprecisionScipy = 1e-3 # Précision de la simulation
#####
def GenerationListes():
    for i in range(nb):
        Lz,Lw=Optimisation(L[i],Cwmin,Cwmax,CnbW,CdureeScipy,CprecisionScipy)
        Z1[i]=Lz[0]
        Z2[i]=Lz[1]
        W1[i]=Lw[0]
        W2[i]=Lw[1]

# Affichage
GenerationListes()

plt.subplot(211)
plt.plot(L,Z1)

plt.subplot(212)
plt.plot(L,Z2)
plt.show()
```

Annexe N

Exploitation des fichiers Arduino

```
import matplotlib.pyplot as plt

def Arduinolaxe(Serie):
    L=[]
    doc="/Users/maxencerichard/Documents/PSI*/TIPE/CapturesCoolTerm/Capture"+str(Serie)
    with open(doc,'r') as file:
        lignes=file.readlines()
    for i in range(3,len(lignes)-2):
        #La dernière donnée est souvent intraitable car tronquée lors de son écriture
        #Les trois premières lignes sont des lignes d'informations sur la série de données
        L.append(float((int(lignes[i][: -1])-338)*9.81/80))
    absc=[i/40 for i in range(len(L))]
    return(absc,L)

choix=["3","4","5","6"]
for c in choix:
    X,Y=Arduinolaxe("N0"+c+".txt")
    plt.plot(X,Y)
plt.show()
```

Sources:

Diapositive 1:

Par Armand du Plessis — Travail personnel, CC BY 3.0, <https://commons.wikimedia.org/w/index.php?curid=10591308>

Diapositive 2:

Image tirée de : Connor, Jerome J., Structural Motion Engineering, chapitre 4 : Intro to structural motion control

Par Freshgod — Travail personnel and parts from Comparaison gratte-ciels from Freshgod, CC BY-SA 3.0,

<https://commons.wikimedia.org/w/index.php?curid=26037710>

Par Someformofhuman — Travail personnel, CC BY-SA 4.0, <https://commons.wikimedia.org/w/index.php?curid=3799263>

Diapositive 4:

Image tirée de : Connor, Jerome J., Structural Motion Engineering, chapitre 4 : Intro to structural motion control

Diapositive 7:

Par Someformofhuman — Travail personnel, CC BY-SA 4.0, <https://commons.wikimedia.org/w/index.php?curid=3799263>

Diapositive 22:

Par Someformofhuman — Travail personnel, CC BY-SA 4.0, <https://commons.wikimedia.org/w/index.php?curid=3799263>

Image tirée de : Ioannis Kourakis : Thèse : Structural Systems and Tuned Mass Dampers of Super-Tall Buildings : Case Study of Taipei 101